

Title	Natural Element Method に適した並列アルゴリズムの スケーラビリティの検討
Author(s)	大原, 健一
Citation	
Issue Date	1998-03
Type	Thesis or Dissertation
Text version	author
URL	http://hdl.handle.net/10119/1154
Rights	
Description	Supervisor:松澤 照男, 情報科学研究科, 修士

修士論文

Natural Element Method に適した 並列アルゴリズムのスケラビリティの検討

指導教官 松澤照男 教授

北陸先端科学技術大学院大学
情報科学研究科情報システム学専攻

大原健一

1998年2月13日

目次

1	はじめに	1
2	Natural Element Method	3
2.1	NEM の概要	3
2.2	基礎方程式	4
2.3	方程式の離散化	4
2.4	要素分割	7
2.4.1	Delaunay Triangulation	7
2.4.2	Delaunay Triangulation の手順	8
2.4.3	Delaunay flip	9
2.5	補間関数	10
2.5.1	Voronoi Cell	10
2.5.2	Natural Neighbour Interpolation	12
2.6	節点の追加・削除	15
2.6.1	節点の追加	15
2.6.2	節点の削除	15
2.7	速度と圧力の計算方法	16
2.7.1	速度の計算	16
2.7.2	圧力の計算	16
3	NEM の並列化	17
3.1	領域分割方法	17
3.1.1	領域分割の手順	18

3.2	境界条件について	19
3.3	並列計算の手順	19
4	実験及び考察	21
4.1	解析例	21
4.2	並列計算	25
4.2.1	評価基準について	25
4.2.2	検討方法	25
4.2.3	各並列計算部分における速度向上比	31
4.2.4	全実行時間の速度向上比	43
5	まとめ	51

目 次

2.1	要素分割の比較	7
2.2	Lawson のスワッピングアルゴリズム	9
2.3	Delaunay flip	10
2.4	Voronoi 分割図	11
2.5	1st Voronoi Cell(左) と 2nd Voronoi Cell(右)	12
2.6	1st Voronoi Cell と 2nd Voronoi Cell の重ね合わせ	13
3.1	$N = 4$ 、 $M = 1$ の場合の領域分割図	19
4.1	解析領域及び境界条件	22
4.2	初期節点配置	23
4.3	初期節点配置を基にした要素分割図	23
4.4	速度図	24
4.5	速度向上比 ($PE=2$)	26
4.6	並列計算部分の速度向上比 ($PE=4$)	27
4.7	並列計算部分の速度向上比 ($PE=8$)	28
4.8	並列計算部分の速度向上比 ($PE=16$)	29
4.9	並列計算部分の速度向上比 (100step 平均)	30
4.10	中間流速及び速度計算部分における速度向上比 ($PE=2$)	32
4.11	中間流速及び速度計算部分における速度向上比 ($PE=4$)	33
4.12	中間流速及び速度計算部分における速度向上比 ($PE=8$)	34
4.13	中間流速及び速度計算部分における速度向上比 ($PE=16$)	35
4.14	中間流速及び速度計算部分における速度向上比 (100step 平均)	36
4.15	圧力計算の速度向上比 ($PE=2$)	38

4.16	圧力計算の速度向上比 (PE=4)	39
4.17	圧力計算の速度向上比 (PE=8)	40
4.18	圧力計算の速度向上比 (PE=16)	41
4.19	圧力計算の速度向上比 (100step 平均)	42
4.20	全実行時間における速度向上比 (PE=2)	44
4.21	全実行時間における速度向上比 (PE=4)	45
4.22	全実行時間における速度向上比 (PE=8)	46
4.23	全実行時間における速度向上比 (PE=16)	47
4.24	全実行時間における速度向上比 (100step 平均)	48

表 目 次

第 1 章

はじめに

流体の運動の様子を調べる方法として、オイラーの方法とラグランジュの方法とがある。オイラーの方法は流れを場として解析する方法であるのに対し、ラグランジュの方法は流れを粒子の集まりとみなし、その流体粒子の運動を追跡し、解析する方法である。

解析領域を三角形要素に分割したメッシュによって離散化し、近似解を求める数値解法の場合にラグランジュ的方法を用いると、タイムステップが進行する毎に節点が移動することから、その度毎に三角形要素の分割を行ってメッシュを張り直すことが必要となってくる。このことから計算量が増大し、又、メッシュの更新を行なった場合に大きく歪んで潰れてしまった要素が生成され面積が求められなくなり、解析が進められなくなる場合が起こる。オイラー的方法で解析する場合はメッシュが固定されている為、このような問題は起こらない。

以上の様な理由から、オイラー的方法で解析することが盛んに行なわれている。しかし、移動境界問題や自由表面問題といった大きな変形が伴う問題を扱う場合にはラグランジュ的方法で解析することが望まれている。それは、時間が進行する毎に解析領域の境界を追跡しながら解析を行なうことが出来るという特徴があるからである。

Jean Braun ら [1, 2, 3] によって新しく提案された Natural Element Method(以下 NEM) は、ラグランジュ的数値解析方法である。NEM では Delaunay triangulation と呼ばれる要素分割方法を用いて大きく歪み、潰れてしまったメッシュが生成されない様にしている。また、Natural Neighbour Interpolation という補間方法を用いている。しかし、NEM は Delaunay triangulation と Natural Neighbour Interpolation を用いることから計算時間が増大するという問題があり、並列化を行ない計算時間を短縮することが望まれている。

本研究室の沼形は、並列計算機 CM-5 を用いて、NEM の並列化を行なった。並列化を行なった事でプロセッサエレメント (以下 PE) が 2,4,8 の時には理論値の約 7 割から 8 割の性能を得、PE が 16 の時には理論値の約 5 割の性能を得ることが確認された。

しかし、並列計算を行なっても流れの様子が逐次計算で行なった場合の結果と同じ流れの様子を実現することが必要である。その為に、各 PE 間の領域境界部分でオーバーラップしている節点について何らかの境界条件を与えることが必要となってくる。

また、その並列アルゴリズムについて PE の台数の増加とその性能の関係 (スケーラビリティ) を検討する必要がある。また領域分割方法の違いで同じ PE を用いた時に、その性能にばらつきが見られ、どの様な領域分割を行なった時に最も良い性能が得られるのかどうかを検討する必要がある。

そこで本研究では、並列計算機 Cray- t3e を用い、また通信関数として Message Passing Interface (以下 MPI) を採用し、NEM の並列アルゴリズムを並列計算機 Cray-t3e に移植し、並列計算を行なった時に逐次計算と同じ流れが再現されるようにし、その並列アルゴリズムについて、スケーラビリティの検討を行なうことを目的とした。

その結果、8PE までは流れの様子を再現することが出来、領域分割を二次元方向に分割することで、PE の増加に対して、より良い性能を得ることができた。

第 2 章

Natural Element Method

2.1 NEM の概要

流体の運動の調べる方法には、オイラーの方法とラグランジュの方法とがある。オイラーの方法は解析領域に対して固定点を設置し、流れの様子を調べる方法である。一方、ラグランジュの方法は流体の運動を追跡する為に、節点を移動させて流れの様子を調べる方法である。

ラグランジュ的方法で解析を行なうと、タイムステップ毎にメッシュを張り直すことが必要となり、そのために計算量が増大するという問題がある。その上、あるタイムステップにおいては歪んで潰れてしまった要素が生成される場合があり、この歪んだ要素により要素の面積が求められなくなり、精度の良い補間を行なうのに支障をきたす事になる。そのため、流体の数値解析を行なう場合にはオイラーの方法が用いられることが多い。しかし移動境界問題や自由表面問題といった大きな変化が伴う問題を扱う場合、解析領域がタイムステップの進行とともに変化するため、追跡して解析することの出来るラグランジュ的解析方法を用いることが望まれている。

Jean Braun らによって新しく提案された Natural Element Method (以下 NEM) [1] は、ラグランジュ的数値解析を行なう場合においてこれらの問題点に対して有効に対処された数値解析方法である。NEM の最も大きな特徴は、要素分割方法と補間方法にある。解析領域の要素分割法としては Delaunay Triangulation [4] を用いている。この要素分割方法を用いる事によって、正三角形に出来るだけ近い要素を生成することを可能にしている。そして NEM 独自の補間方法である Natural Neighbor Interpolation [1] は、この

要素を用いることで均一でない不規則な分布をした節点にたいしても精度の良い補間を行なうことが可能になった。

2.2 基礎方程式

NEM の基礎方程式は、Navier Stokes 方程式の移流項が省かれた運動方程式と連続式から成る。

$$\frac{\partial u}{\partial t} + \frac{\partial p}{\partial x} - \frac{1}{Re} \left(\frac{\partial^2 u}{\partial x^2} + \frac{\partial^2 u}{\partial y^2} \right) = 0 \quad (2.1)$$

$$\frac{\partial v}{\partial t} + \frac{\partial p}{\partial y} - \frac{1}{Re} \left(\frac{\partial^2 v}{\partial x^2} + \frac{\partial^2 v}{\partial y^2} \right) = 0 \quad (2.2)$$

$$\frac{\partial u}{\partial x} + \frac{\partial v}{\partial y} = 0 \quad (2.3)$$

ここで、 u 、 v は流速、 p は圧力、 Re はレイノルズ数を表す。

2.3 方程式の離散化

時間方向の離散化には分離型解法 [6] である流速修正法を適用する。ただし、圧力 P については陰的に解く。以下、 n はタイムステップを表す。また、 Δt タイムステップ n からは $n+1$ の間に経過する微小時間を表す。

$$\frac{u^{n+1} - u^n}{\Delta t} = -\frac{\partial P^{n+1}}{\partial x} + \frac{1}{Re} \left(\frac{\partial^2 u^n}{\partial x^2} + \frac{\partial^2 u^n}{\partial y^2} \right) \quad (2.4)$$

$$\frac{v^{n+1} - v^n}{\Delta t} = -\frac{\partial P^{n+1}}{\partial y} + \frac{1}{Re} \left(\frac{\partial^2 v^n}{\partial x^2} + \frac{\partial^2 v^n}{\partial y^2} \right) \quad (2.5)$$

式(2.4) (2.5)の発散をとると、

$$\text{div} \left(\frac{u^{n+1} - u^n}{\Delta t} \right) = -\frac{\partial^2 P^{n+1}}{\partial x^2} + \frac{1}{Re} \text{div} \left(\frac{\partial^2 u^n}{\partial x^2} + \frac{\partial^2 u^n}{\partial y^2} \right) \quad (2.6)$$

$$\frac{\partial^2 P^{n+1}}{\partial x^2} = \frac{1}{\Delta t} \text{div}(u^n - u^{n+1}) + \frac{1}{Re} \text{div} \left(\frac{\partial^2 u^n}{\partial x^2} + \frac{\partial^2 u^n}{\partial y^2} \right) \quad (2.7)$$

$$\frac{\partial^2 P^{n+1}}{\partial y^2} = \frac{1}{\Delta t} \text{div}(v^n - v^{n+1}) + \frac{1}{Re} \text{div} \left(\frac{\partial^2 v^n}{\partial x^2} + \frac{\partial^2 v^n}{\partial y^2} \right) \quad (2.8)$$

以上の式から圧力についてはポアソン方程式で求めていることが分かる。

この時、 $n+1$ のタイムステップにおける非圧縮条件は、

$$\text{div} \left(\frac{\partial u^{n+1}}{\partial x} + \frac{\partial v^{n+1}}{\partial y} \right) = 0 \quad (2.9)$$

より、

$$\frac{\partial u^{n+1}}{\partial x} = 0 \quad (2.10)$$

$$\frac{\partial v^{n+1}}{\partial y} = 0 \quad (2.11)$$

となるので、

$$\frac{\partial^2 P^{n+1}}{\partial x^2} = \frac{1}{\Delta t} \text{div} \tilde{u} \quad (2.12)$$

$$\frac{\partial^2 P^{n+1}}{\partial y^2} = \frac{1}{\Delta t} \text{div} \tilde{v} \quad (2.13)$$

ただし、 \tilde{u} 、 \tilde{v} は中間流速を表し、次式で定義される。

$$\tilde{u} = u^n + \frac{\Delta t}{Re} \left(\frac{\partial^2 u^n}{\partial x^2} + \frac{\partial^2 u^n}{\partial y^2} \right) \quad (2.14)$$

$$\tilde{v} = v^n + \frac{\Delta t}{Re} \left(\frac{\partial^2 v^n}{\partial x^2} + \frac{\partial^2 v^n}{\partial y^2} \right) \quad (2.15)$$

以上で時間についての離散化を行なった。

次に、これを重み付き残差法を基にした近似解法である Galerkin 法により、空間についての離散化を行なう。自然境界条件を0とした場合、式(2.4)(2.5)(2.12)(2.13)(2.14)(2.15)の重み付き残差方程式は、それぞれ以下のように表される。

$$\int_{\Omega} W \tilde{u} d\Omega = \int_{\Omega} W u^n d\Omega - \frac{\Delta t}{Re} \int_{\Omega} \text{div} W \text{div} u^n d\Omega$$

$$\int_{\Omega} W \tilde{v} d\Omega = \int_{\Omega} W v^n d\Omega + \frac{\Delta t}{Re} \int_{\Omega} W d i w^n n d S - \frac{\Delta t}{Re} \int_{\Omega} d i W \tilde{v} d i v b d\Omega$$

$$\int_{\Omega} d i W \tilde{v} d i p^{n+1} d\Omega = -\frac{1}{\Delta t} \int_{\Omega} W d i \tilde{u} d\Omega \quad (2.16)$$

$$\int_{\Omega} d i W \tilde{v} d i p^{n+1} d\Omega = -\frac{1}{\Delta t} \int_{\Omega} W d i \tilde{v} d\Omega \quad (2.17)$$

$$\int_{\Omega} W u^{n+1} d\Omega = \int_{\Omega} W \tilde{u} d\Omega - \Delta t \left(\frac{\partial^2 u^n}{\partial x^2} \right) \quad (2.18)$$

$$\int_{\Omega} W v^{n+1} d\Omega = \int_{\Omega} W \tilde{v} d\Omega - \Delta t \left(\frac{\partial^2 v^n}{\partial x^2} \right) \quad (2.19)$$

となり、以上で離散化方程式が求めることができる。

また、 u_i^{n+1} は各節点の次のタイムステップにおける速度を表している。タイムステップ n における節点の座標を x_i^n と表すことにすれば、節点の移動を次式で表す事とする。

$$x_i^{n+1} = x_i^n + \frac{\Delta t}{2} (u_i^n + u_i^{n+1}) \quad (2.20)$$

2.4 要素分割

NEMでは、タイムステップ毎に要素分割を行なうことが必要となる。NEMでは、Delaunay Triangulation[1, 4]と呼ばれる要素分割方法を用い、大きく歪んで潰れてしまった要素が生成されることを防ぎ、より正三角形に近い要素を生成することで精度の良い補間を実行することが可能となっている。

2.4.1 Delaunay Triangulation

Delaunay Triangulationと呼ばれる要素分割法は、大きく歪んで潰れてしまった要素が生成されることを防ぐ方法であり、本研究では三角形要素を用いた要素分割を行なう。歪んだ要素や潰れてしまった要素を生成しない為の方法として、1つの三角形要素の外接円の内部にはいかなる節点をも含まないようにしている。

まず、Delaunay Triangulationがどのような要素を生成するか考えてみる。図に4点をつかった要素分割を2通り示す。左がDelaunay Triangulationであり、右が四角形abcdの対角線を入れ換えて出来る要素分割である。Delaunay Triangulationによる要素の方が正三角形に近いことがわかる。今は簡単のために4点の例を取り上げたが、多数の点に対するDelaunay Triangulationも正三角形に近い要素をつくり出すことが確かめられている。要素分割では正三角形に近い形状の要素が望ましいので、Delaunay Triangulationは要素分割に適しているといえる。

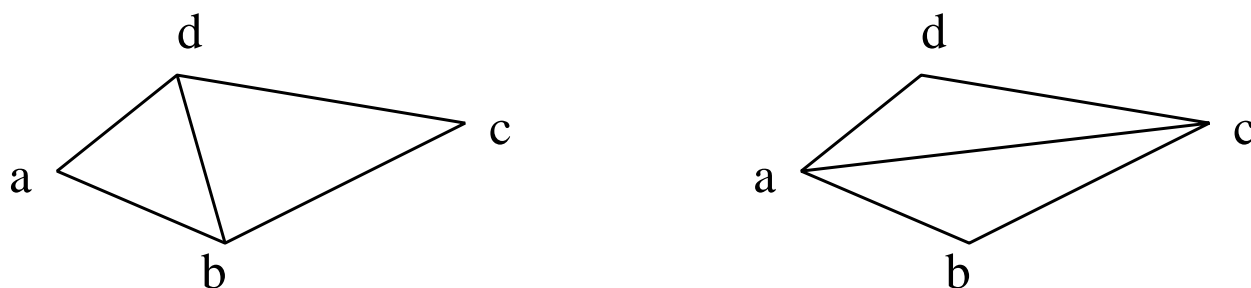


図 2.1: 要素分割の比較

2.4.2 Delaunay Triangulation の手順

上の図で示した、Delaunay Triangulationを任意に設定された節点群に対して適応させる手順として、Lowson のスワッピングアルゴリズム /citedd と呼ばれるアルゴリズムを採用した。

以下に、そのアルゴリズムの手順を示す。

1. 追加した節点 p を含む三角形要素を探す。(図の三角形 abc)
2. その三角形要素の各頂点と節点 p を結び、三角形要素を 3 つの三角形要素に分ける。この 3 つの各三角形要素に対して隣接する三角形のうち、節点 p に向かいあう三角形要素をスタックに入れる。
(図の三角形 adb 、 bec 、 cfa を作り、 bad 、 cbe 、 acf をスタックに入れる。)
3. スタックから三角形要素を 1 つ取り出す。
(図の三角形 adb 。)
4. 節点 p が三角形要素の外接円内に含まれるか調べる。含まれる場合は 5 へ。そうでない場合は 3 へ。
(図は節点 p が三角形 adb の外接円内に含まれる場合を示している。)
5. 対角線を入れ換えて 2 つの三角形要素を作り替える。この 2 つの三角形要素に隣接する三角形のうち、節点 p に向かいあう三角形要素ををスタックに入れる。3 へ。
(図では、四角形 $padb$ の対角線 ab を取り除き、対角線 pd を加えた。このとき出来た三角形は pad と pdb である。)

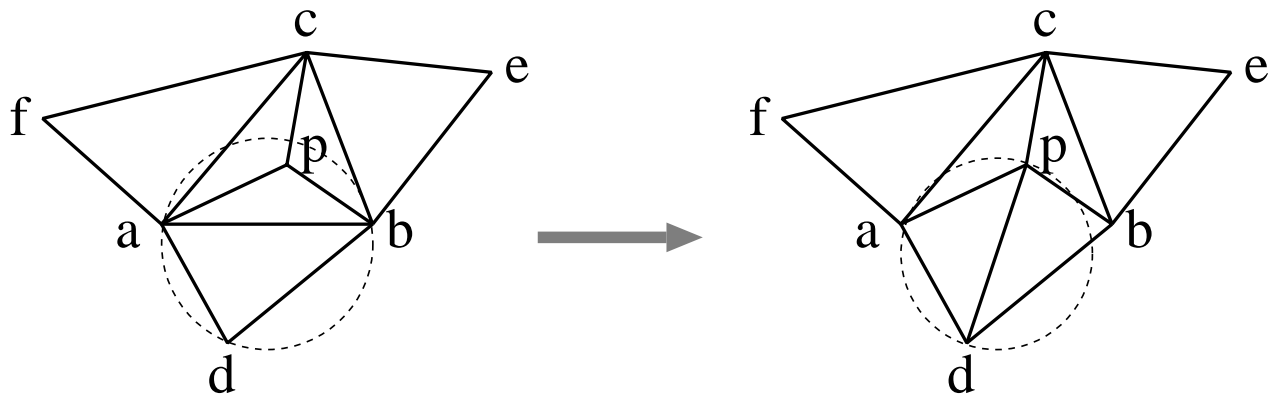


図 2.2: Lawson のスワッピングアルゴリズム

2.4.3 Delaunay flip

上述した Delaunay Triangulation を用いて各タイムステップ毎に要素分割を行なうことは解析領域全体に対して毎回三角形要素分割を行なうことを意味する。これもし、三角形の外接円の内部に節点を含んでいるような要素が少ないのであれば局所的な変更で済むのであれば、計算量の減少につながるようになることから、要素分割方法の局所的な分割方法として Delaunay flip/citening と呼ばれる方法がある。この方法は図に示されているように、隣接する二つの三角形要素で構成される四角形を考える。三角形要素の外接円内部に他の節点を含む場合に、四角形の対角線を入れ換える操作が図に示されている。これを、すべての要素について外接円内部に他の節点を含まなくなるまで行なえば、その要素分割は Delaunay Triangulation となる。この操作は Delaunay flip [1, 2] と呼ばれる。

この方法は、最初に三角形要素分割が行なわれている事が必要とする。そして、NEM を並列化する為の目的の 1 つは、計算時間を減らすことであるので、今回は、タイムステップの 2 ステップ以降の計算についてはこの Delaunay flip を用いることにした。

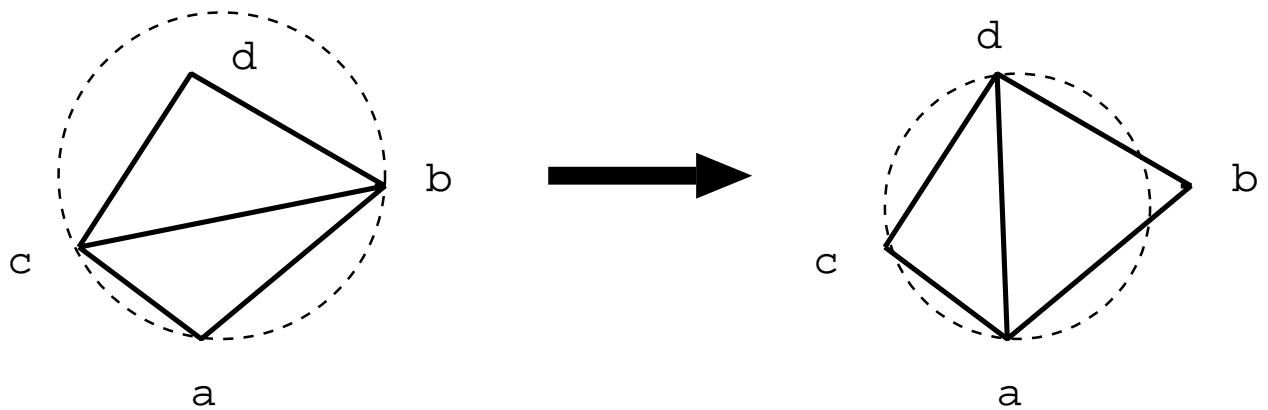


図 2.3: Delaunay flip

2.5 補間関数

NEM では、Natural Neighbour Interpolation [と]と呼ばれる補間方法が用いられる。その重みは Voronoi Cell と呼ばれる多角形の面積から求められる。

2.5.1 Voronoi Cell

Delaunay Triangulation を行なった三角形要素の各辺の垂直二等分線を結んでいくと凸多角形分割が出来る。これを Voronoi 分割といい、その多角形の 1 つ 1 つを Voronoi Cell という。図は不規則に配置した節点にたいする Voronoi 分割を表している。

各 Voronoi Cell には 1 つの節点が含まれている。この隣接した Voronoi Cell の節点をつないでいくと、Delaunay Triangulation が出来ることが知られている。即ち、Delaunay Triangulation は Voronoi Cell の隣接関係を表している。このとき、Voronoi Cell の辺は Delaunay Triangulation の三角形要素の辺の垂直二等分線の一部になっている。また、Voronoi Cell の頂点は Delaunay Triangulation の三角形要素の外接円の中心になっている。このように、Delaunay Triangulation と Voronoi Cell とは双対関係にあることが分かる。

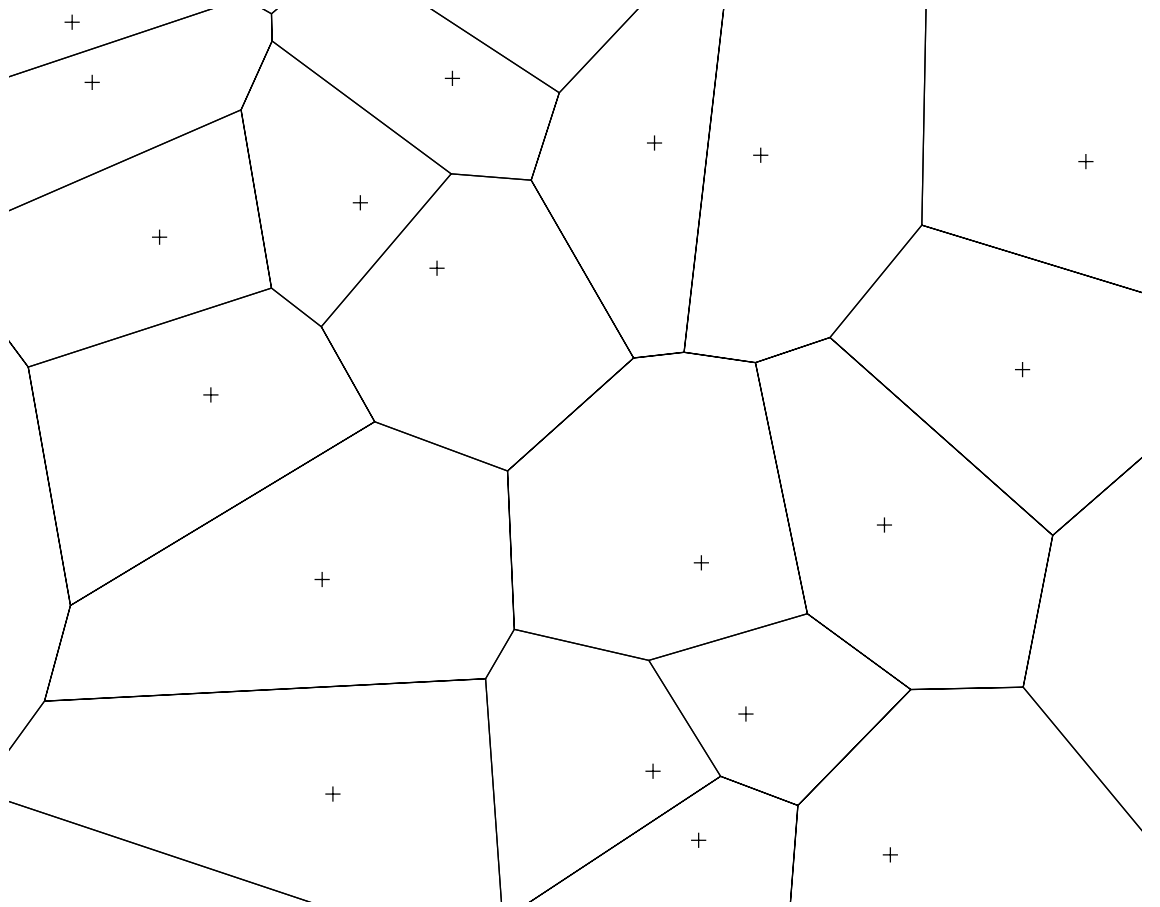


图 2.4: Voronoi 分割图

2.5.2 Natural Neighbour Interpolation

NEMでは、要素分割に使っている Delaunay Triangulation から、Voronoi Cell を求め、その面積を使って補間する。

解析領域の Delaunay Triangulation から求められた Voronoi Cell を特に 1st Voronoi Cell と呼ぶ。次に、領域に補間したい点を 1 点加えて出来る Voronoi Cell を 2nd Voronoi Cell と呼ぶ。また補間点を加えて出来た 2nd Voronoi Cell に対して隣接している 2nd Voronoi Cell に含まれている節点を 補間点の Natural Neighbour と呼ばれる。

図に、補間点付近の 1st Voronoi 分割と 2nd Voronoi 分割の例を示してある。点線は Delaunay Triangulation を表し、その頂点の + 印は、節点である。2nd Voronoi 分割の中央の + 印が補間する点である。更に、1st Voronoi 分割と 2nd Voronoi 分割を重ね合わせたものを図に示した。

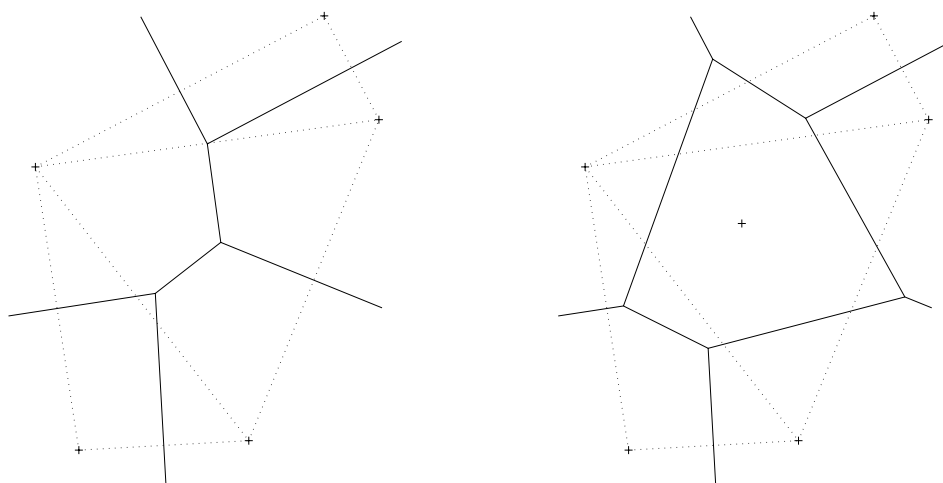


図 2.5: 1st Voronoi Cell (左) と 2nd Voronoi Cell (右)

1st Voronoi Cell と 2nd Voronoi Cell を重ね合わせた図より、補間点を加えた 2nd Voronoi Cell が 1st Voronoi 分割の 5 つの 1st Voronoi Cell によって、5 つの領域に分割されているのがわかる。注意してみると、この 5 つの 1st Voronoi Cell は、どれも 補間点の Natural Neighbour の 1st Voronoi Cell である。このように、Natural Neighbour の 1st Voronoi Cell によって分割されるのである。

ここで、補間点の 2nd Voronoi Cell の面積を 1 とし、分割された 5 つの領域の面積を重みとして用いるのが、Natural Neighbour Interpolation である。すなわち、補間点の関数

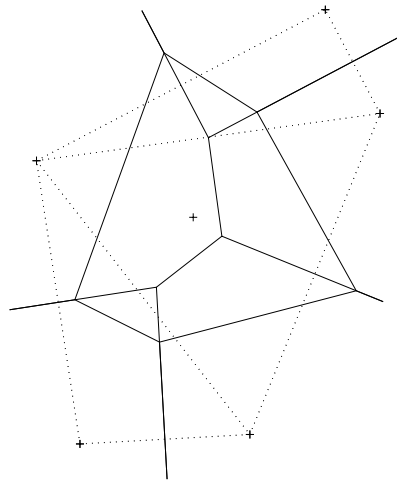


図 2.6: 1st Voronoi Cell と 2nd Voronoi Cell の重ね合わせ

値は、補間点の Natural Neighbour となっている節点の値が重み付けされて求められる。

なお一般には、補間点の 2nd Voronoi Cell は少なくとも 3 つの領域に分割される。補間点の近傍の節点分布によって、いくつの領域に分けられるかが決まる。

以下に、点 x において、Natural Neighbour Interpolationの補間関数値 $f(x)$ を求める手順をまとめる。

1. 補間点 x の Natural Neighbour になっている節点を全て探し出す。

要素分割を与えている Delaunay Triangulation から、補間点の Natural Neighbour を簡単に求めることが出来る。補間点を加えて Delaunay Triangulation を行なったとき、補間点と同じ三角形要素に属する節点が Natural Neighbour である。従って、結局、元の（補間点を加えていない）Delaunay Triangulation において、補間点を外接円に含む要素の各頂点が Natural Neighbour である。また、これらの要素は Circum Triangle と呼ばれる。

2. Natural Neighbour の 1st Voronoi Cell を求める。

1st Voronoi Cell の各頂点は Circum Triangle の外接円の中心である。

3. 補間点の 2nd Voronoi Cell を求める。

補間点の 2nd Voronoi Cell の各頂点は、Natural Neighbour と補間点で構成される三角形の外接円の中心である。

4. Natural Neighbour の 1st Voronoi Cell と補間点の 2nd Voronoi Cell の重なり部分の面積を求める。それらを $Vor_n(x)$ と表すことにする。

5. $Vor_n(x)$ の総和を求める。これを、 $S(x)$ で表すことにする。

$$S(x) = \sum_n Vor_n(x) \quad (2.21)$$

6. 各 Natural Neighbour の重み $W_n(x)$ を求める。

$$W_n(x) = \frac{Vor_n(x)}{S(x)} \quad (2.22)$$

7. 各 Natural Neighbour の関数値を f_n とすると、補間値 $f(x)$ は次式で求められる。

$$f(x) = \sum_n W_n(x) f_n \quad (2.23)$$

2.6 節点の追加・削除

NEM では、タイムステップ毎に節点が移動することから三角形要素の形も変形する。初期節点配置は速度や圧力の変化が著しい円柱近傍に多く配置させ、変化があまり見られない所には節点を疎らに配置させているといった不規則な配置をしている。このままタイムステップを進行させていくと局所的に節点が集まり過ぎ三角形要素の大きさが小さくなり過ぎ面積が求められなくなることがおこることが考えられる。また、その逆に三角形要素の大きさが大き過ぎて精度の良い計算を行なう事に支障をきたす。

この問題点に対応するために、三角形要素の面積について最大値と最小値の基準を予め決めておき、三角形要素の面積がその基準値よりも小さくなり過ぎた所には節点を削除する事を考え、その反対に三角形要素の面積がその基準値よりも大きくなり過ぎた所には節点を追加することを考えた。

2.6.1 節点の追加

節点の追加については、追加する節点の速度や圧力の値を補間してやり、追加する。その後は前述した Lawson のスワッピングアルゴリズムを用いて Delaunay Triangulation を行ない、節点を追加した新たな三角形要素分割を行なった。

具体的な手順は以下のようなになる。

1. 新たに追加する節点 P の座標 x を決定する。
2. $\text{Nearest Neighbor Interpolation}$ を用いて 座標 x に関して補間して、節点 P に必要な値を求める。
3. 座標 x に節点 P を置いて、 $\text{Delaunay Triangulation}$ の手順にしたがって要素分割する。

2.6.2 節点の削除

任意の $\text{Delaunay Triangulation}$ が与えられているとする。そこから節点を 1 点削除すると、その点を含む三角形要素も消失し、その部分には多角形の空白部分が生じる。この空白の多角形内部を新しい三角形要素で埋めなくてはならない。しかも、それで与えた要素分割が、領域全体として $\text{Delaunay Triangulation}$ になっているなければならない。し

かし、この空白の多角形だけを Delaunay Triangulation にすれば充分であることは明らかである。なぜなら、節点の削除によって、空白の多角形の外側の三角形要素が外接円内に節点を含むようになることはあり得ないからである。したがって、この後やるべきことは空白になった多角形領域について、Delaunay Triangulation を求めることである。これは、多角形の端の領域から順次、外接円内に多角形の頂点を含まない要素を作っていけば良いだけである。

2.7 速度と圧力の計算方法

2.7.1 速度の計算

速度を求める計算には、まず中間流速を求め、次に速度を求めるという方法をとる。これは式(??)および式(??)を解くことで求められる。速度を求める場合には、解を陽的に求めている。

2.7.2 圧力の計算

圧力は式(??)を解くことで求められる。この方程式系の係数行列を解く解法として、直接解法(LU分解)を用いた。

第 3 章

NEM の並列化

本研究では、並列計算機 Cray-T3e を用い、並列計算を行なった。通信方式として Message Passing Interface (以下 MPI) を用い、並列化を行なう為の手法として領域分割法を用いる。この方法を用いて解析領域をプロセッサエレメント (以下 PE) 数に分割する。オイラー的方法を用いると、タイムステップが進行してもメッシュは変わらない為、一度領域分割を行なうと解析が終了するまで領域分割を再度行なう必要がない。ラグランジュ的解析方法である NEM では節点がタイムステップ毎に移動するので、その都度領域分割を行なう必要が生じ、また、各 PE が受け持つ節点数が均等になる様に負荷分散を行なう必要がある。

3.1 領域分割方法

領域分割方法として、解析領域を微小領域に分割し、その微小領域内の節点を調べ、各 PE の受け持つ節点数が均等になるように微小領域単位で分割を行なう方法をとる。この時領域境界部分の扱いについては、各 PE が受け持った節点の三角形要素を調べ、その三角形要素の 1 頂点でも領域外に存在するならばその頂点をその三角形要素を受け持っている PE が受け持つ節点し、その節点をその PE の領域境界として認識させる。すなわち各 PE の領域境界部分はお互いが同じ節点をオーバーラップして受け持つようにした。

3.1.1 領域分割の手順

上で述べた領域分割方法の手順を具体的に述べると以下の様になる。

1. 領域を図のような縦長の帯状の小領域に分割する。
2. 各帯状小領域に入っている節点数を調べる。
3. 各小領域に含まれる節点の数が均等になるように、帯状小領域単位で領域全体を N 個の小領域に分割する。
4. 解析領域を 2 次元方向に分割する場合には上で分割した N 個の各小領域に対して、横長の帯状領域に分割する。
5. N 個の各小領域において、各帯状小領域に入っている節点数を調べる。
6. N 個の各小領域において、含まれる節点の数が均等になるように、帯状小領域単位で領域全体を M 個の小領域に分割する。
7. 各 PE で、割り振られた節点を頂点とする三角形要素を調べ、それらを受け持つ要素とする。このとき、三角形要素の 1 頂点でも割り振られた節点であるならば、受け持ちの要素とする。即ち、その要素の頂点には、他の PE の節点となっているものも存在する。この要素が、領域境界でオーバーラップする部分をあたえる境界要素となる。
8. オーバーラップ部分の要素の頂点となっている節点のうち、他の PE に割り振られた節点を、新たに自分の受け持ちの節点として加える。

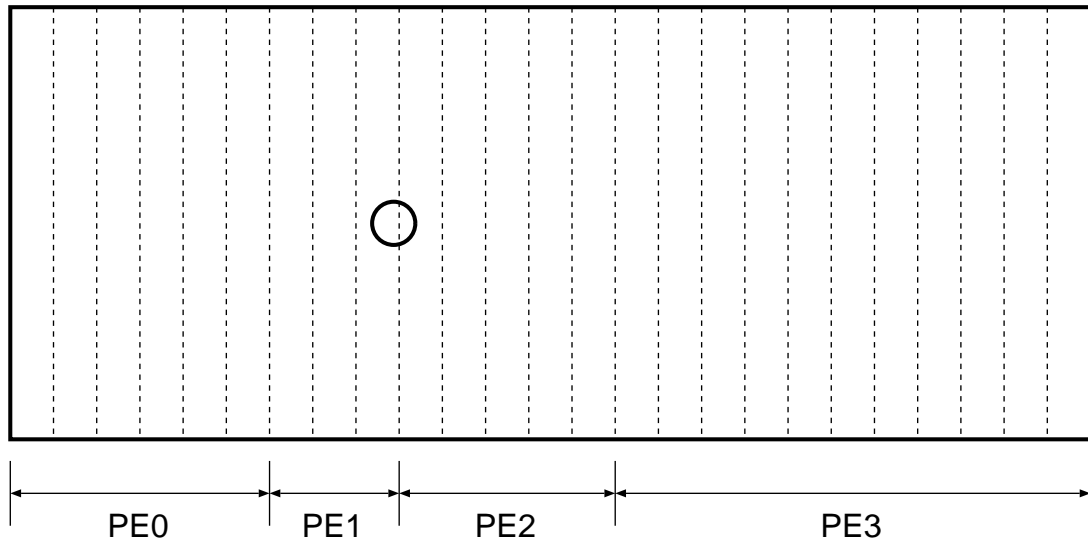


図 3.1: $N = 4$ 、 $M = 1$ の場合の領域分割図

3.2 境界条件について

前述した領域分割方法により、各 PE はその領域境界においてはお互いにある同じ節点をオーバーラップして受け持っている。このまま中間流速、圧力、速度のについて並列計算を行なった場合、逐次計算の時の流れの様子とは異なってしまふ。そこで、各 PE の領域境界部分について何らかの境界条件を与えることが必要となる。そこで今回は境界条件として、オーバーラップして受け持った節点については前のタイムステップで計算した値を与えた。すなわちオーバーラップしている節点については未知数として扱わず、既知数として扱うこととした。

3.3 並列計算の手順

並列計算の計算手順は、以下の手順で行なう。

1. 節点の初期データを入力する。
2. 節点データをもとに Delaunay triangulationにより要素分割する。(1ステップ目の時のみ)

3. 各 PE に節点と要素のデータを転送する。
4. 領域分割し、各 PE が自分が受け持つ領域及び節点を決定する。
5. 各 PE において、中間流速 \tilde{u} 、 $[\tilde{v}]$ を求める。
6. 各 PE において、圧力 p を求める。
7. 各 PE において、流速 u 、 $[v]$ を求める。
8. 各 PE において、節点の位置を更新する。
9. 各 PE で求めた解を、1 つの PE に集める。
10. 2 ステップ以降では集められたデータから新しい節点配置に対して Delaunay flip により要素分割を更新する。
(計算終了のタイムステップ数を終えていれば計算終了。)
11. 節点の削除及び追加を行なう。

第 4 章

実験及び考察

4.1 解析例

本研究では 2 次元円柱周りの流れの解析を行なった。

通常、オイラー的手法を用いる場合には、一様な流れの中に円柱が置かれていると考えて、問題を解析する。つまり、円柱は解析領域に固定され、流体が円柱周りを移動していく問題として扱われる。ラグランジュ的手法においても、そのように問題を扱うことはもちろん可能である。しかし、ラグランジュ的手法の特徴を考慮すると、むしろ静止流体中を円柱が移動していく問題として扱う方が自然である。(この場合は移動境界問題となる。)

今回は、この問題を後者のように扱い解析した。

初期条件を、以下の様に与える。

- 微小時間増分量 $\Delta t = 0.01$
- レイノルズ数 $Re = 100$
- 初期値は速度、圧力とも 0 とする。
- 境界条件は外壁の境界の速度を 0 とする。
- 各 PE 間の領域境界部分に対する境界条件として、オーバーラップして受け持った節点については前のタイムステップにおける値を用いた。

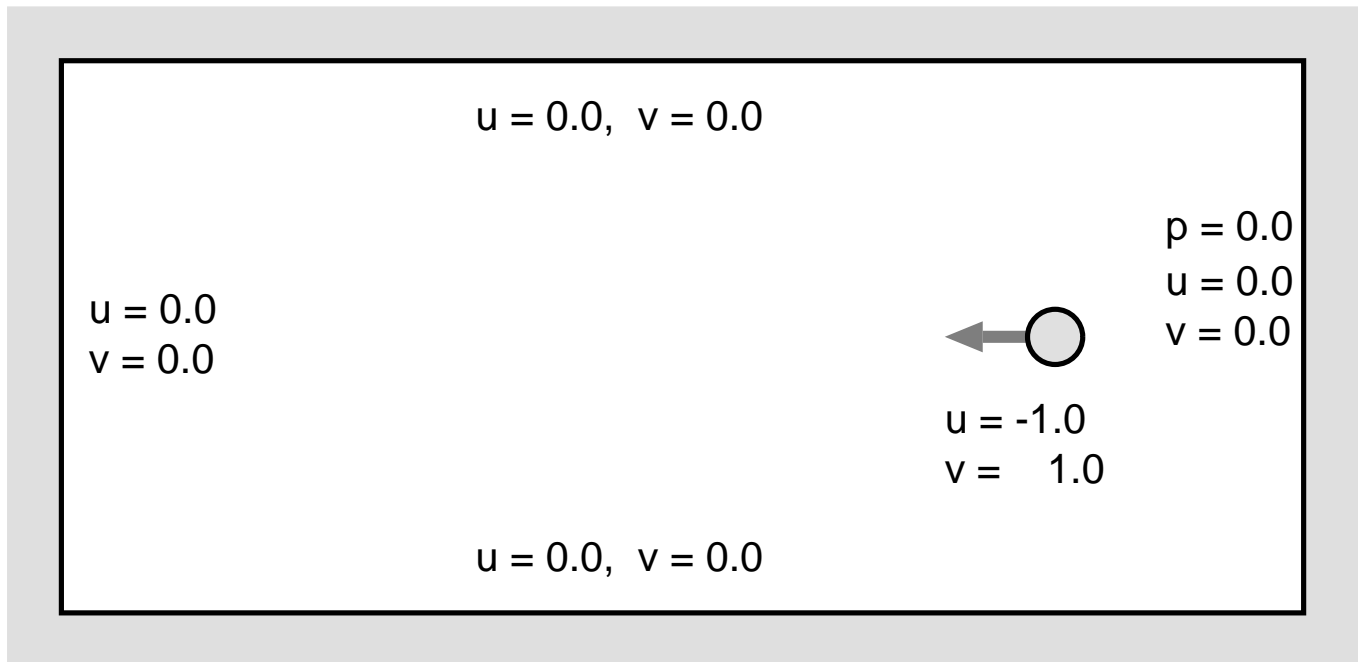


図 4.1: 解析領域及び境界条件

また、計算開始時には図のように節点を配置した。図から分かるように円柱の近傍に節点を多く配置させ、円柱から離れた所では節点を疎らに配置させている。これは、速度や圧力の変化が円柱近傍で著しく激しく、円柱から離れた所では与えられた節点集合に対して、Delaunay Triangulationを行ない図のような要素分割を得た。

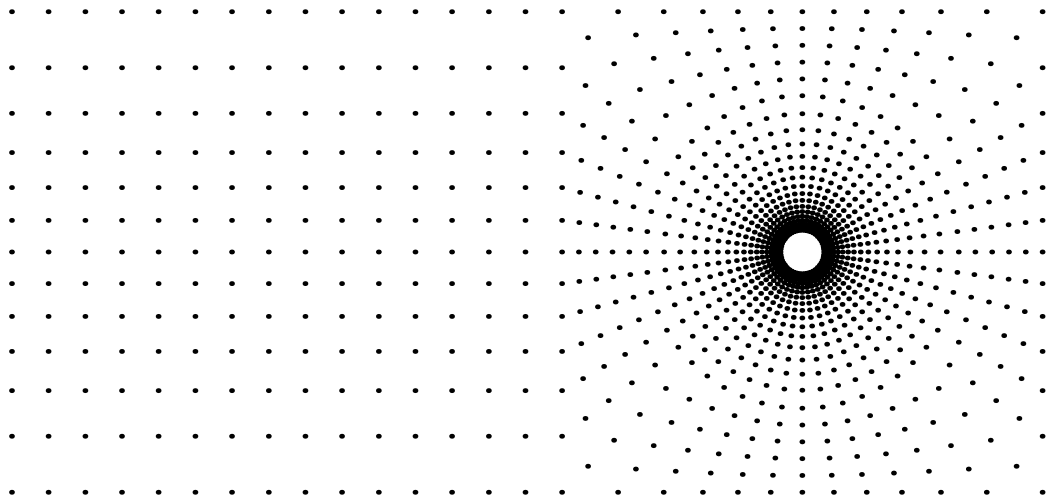


図 4.2: 初期節点配置

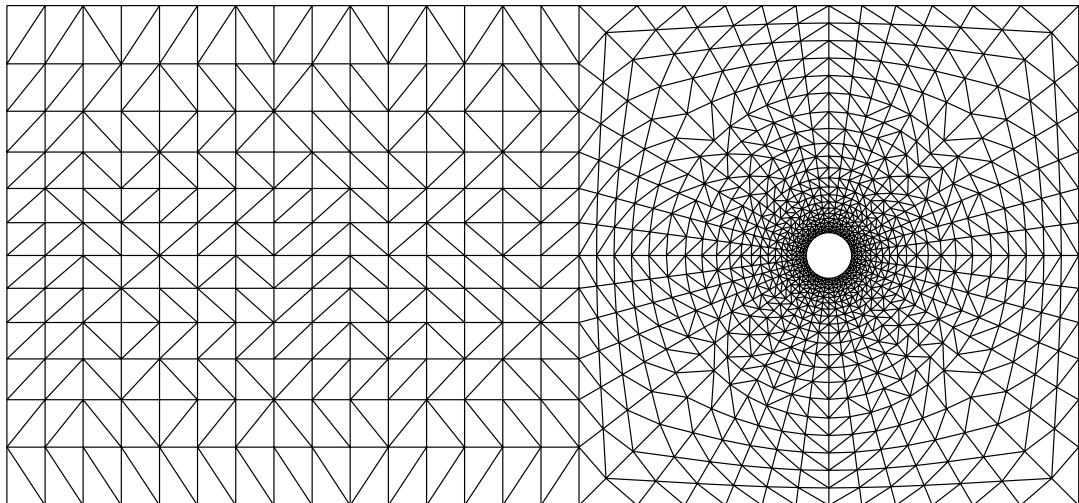


図 4.3: 初期節点配置を基にした要素分割図

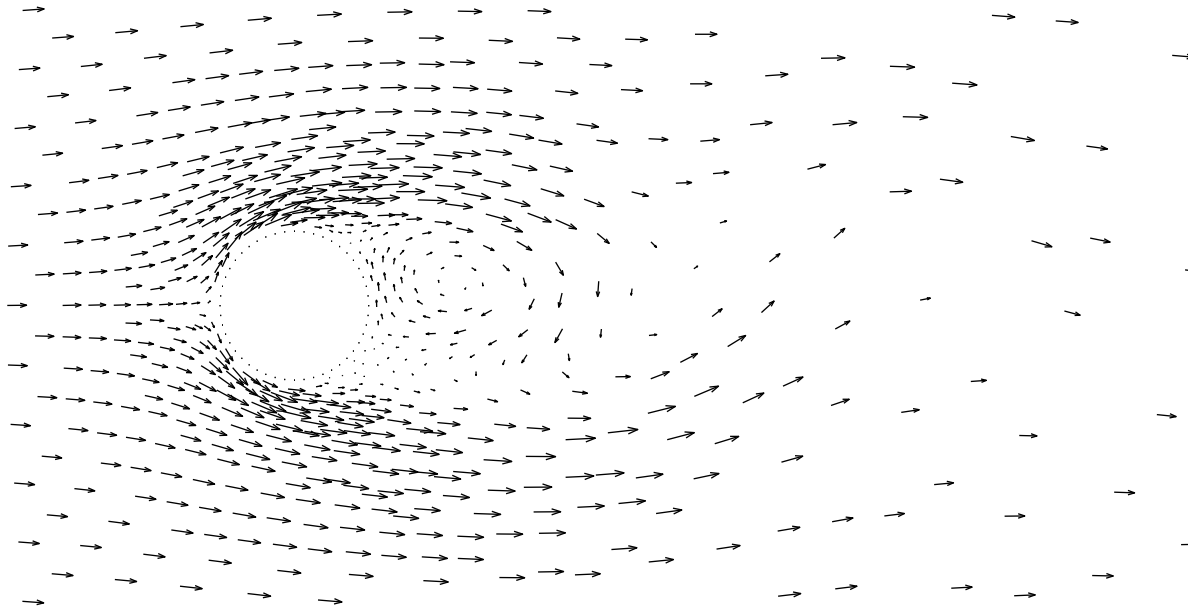


図 4.4: 速度図

この計算で タイムステップ数 100 における流れの様子を図に示す。速度図では、双子渦のきっかけとなる渦が生じている様子が見られる。これはレイノルズ数に対応した流れの特徴が出ていることが分かる。

4.2 並列計算

4.2.1 評価基準について

並列計算アルゴリズムの性能を評価するものとして速度向上比を用いる。速度向上比とは、N 個の PE を用いて並列計算を実行したときの時間 T_N と、逐次計算を行なった時の時間 T_1 とを比較してどれだけの性能が得られたのかを検討する基準となるもので、次式のように定義される。

$$\text{速度向上比} = \frac{T_1}{T_N}$$

4.2.2 検討方法

この速度向上比を用いて、PE 数の増加と共に速度向上比にどのような変化が表れるのかを検討した。またこの並列アルゴリズムは、中間流速の計算、圧力の計算、速度の計算、そして次のタイムステップにける節点の位置を更新する計算の部分について並列化されている。そこでまず並列化した部分についての速度向上比を示した。並列計算を行なう際に領域分割方法を縦方向、横方向について変えていき速度向上比にどのような変化が表れるのか検討を行なった。図の decom N-M とは解析領域を縦に N 分割そして、横に M 分割したことを示している。

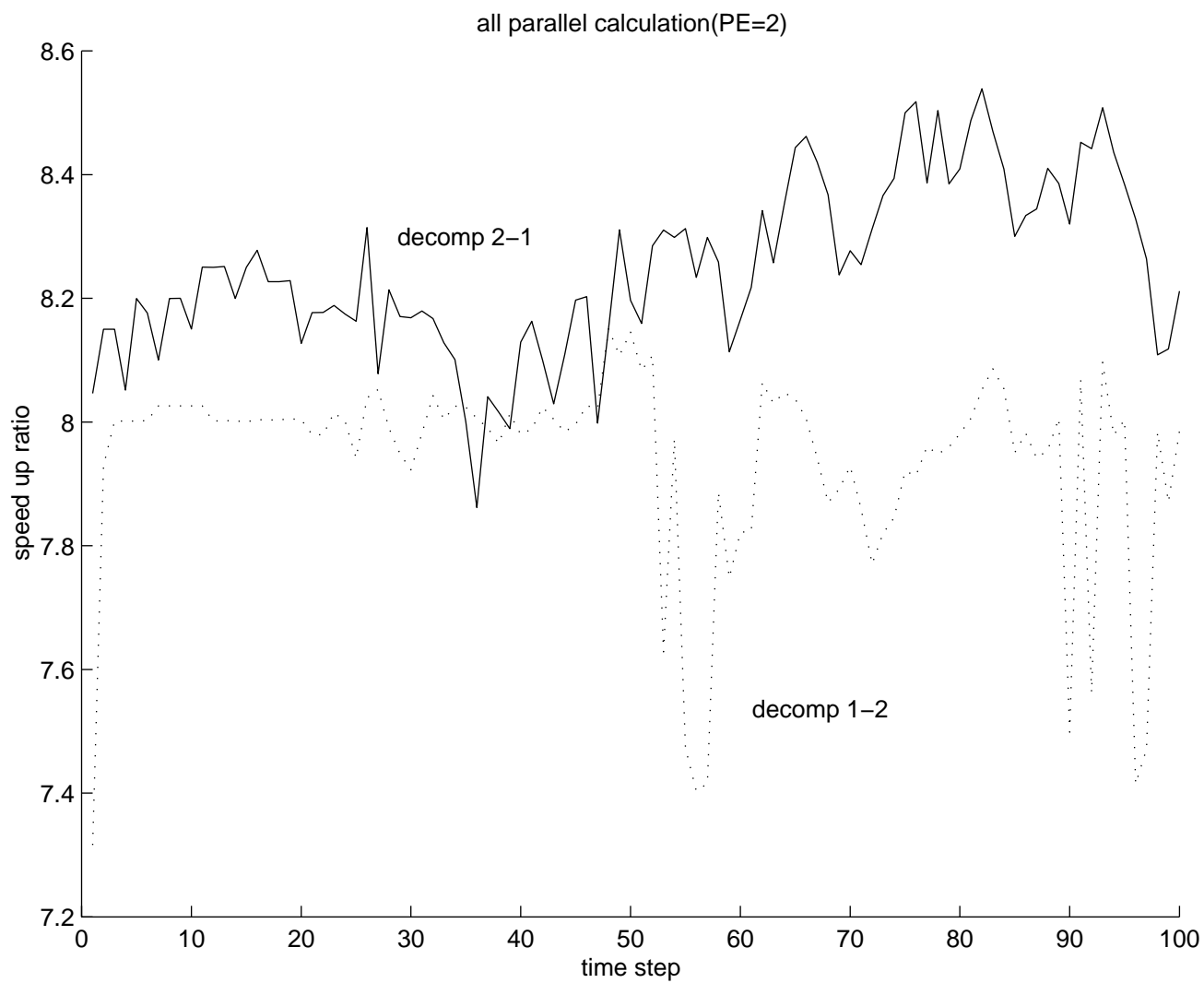


图 4.5: 速度向上比 (PE=2)

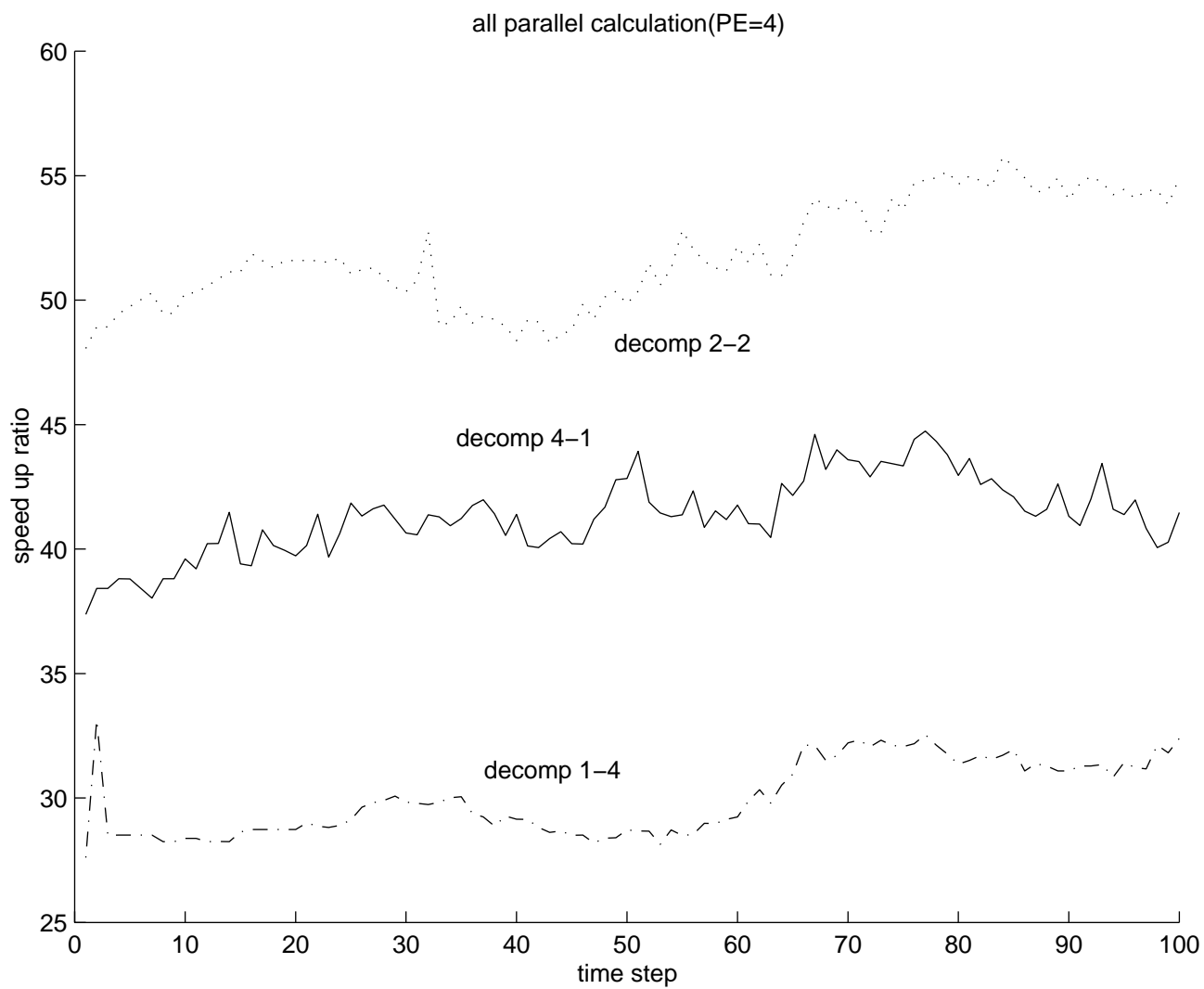


図 4.6: 並列計算部分の速度向上比 (PE=4)

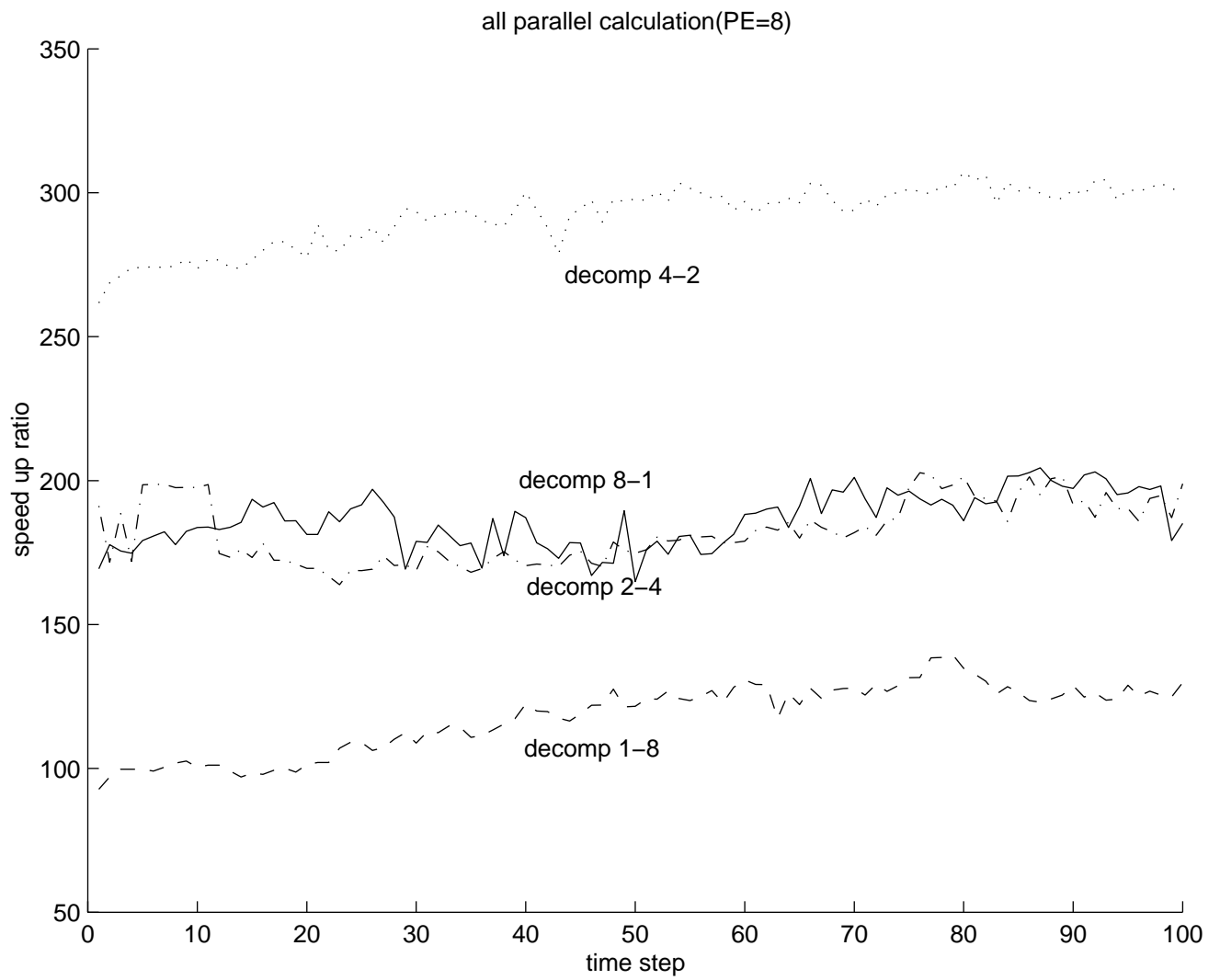


図 4.7: 並列計算部分の速度向上比 (PE=8)

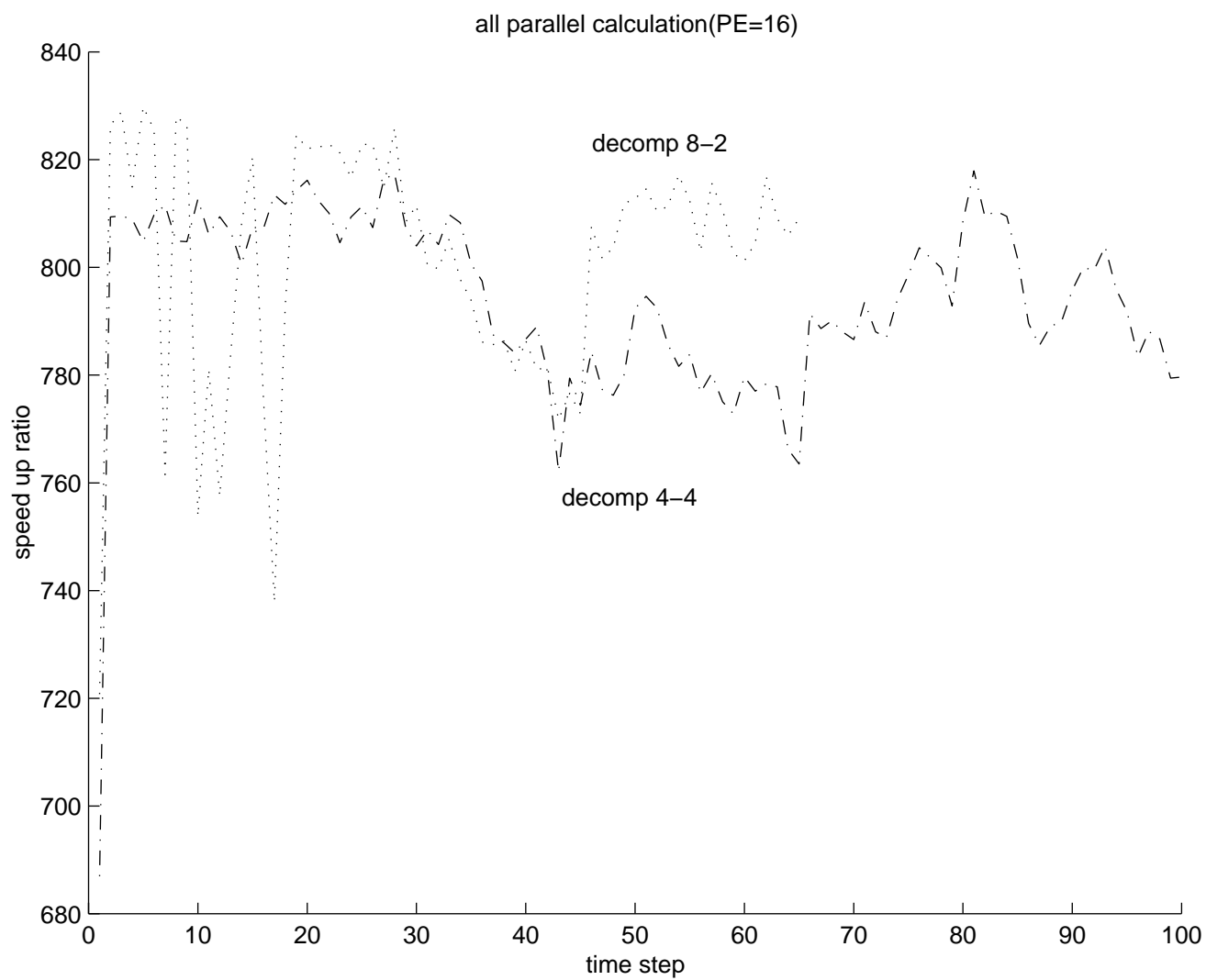


図 4.8: 並列計算部分の速度向上比 (PE=16)

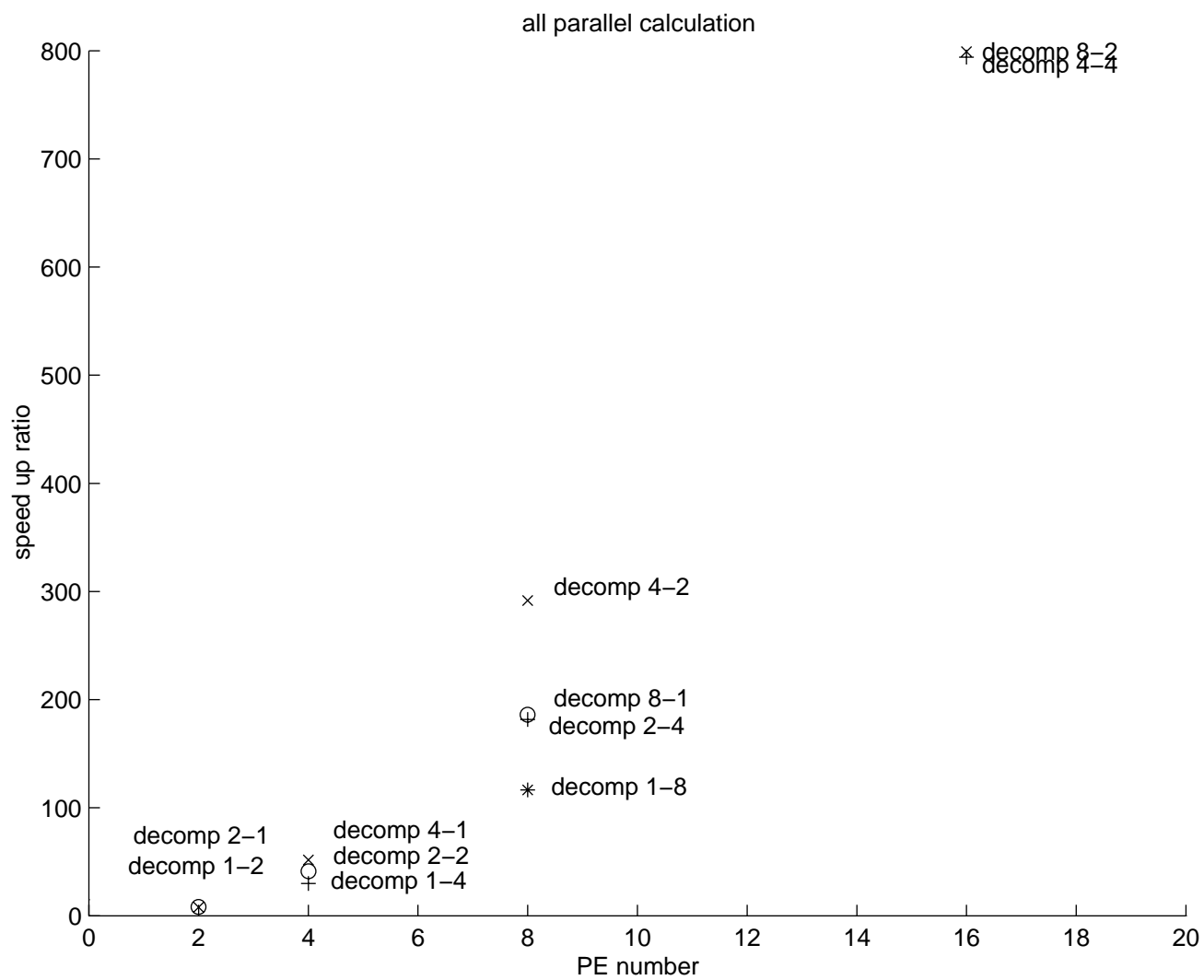


図 4.9: 並列計算部分の速度向上比 (100step 平均)

図より、PE 数が増加するにつれて速度向上比が、急激に大きくなっていることがわかる。そこで、並列化されている部分の内の何処の計算部分が影響を与えているのかを確か確認する必要がある。そこで各並列計算部分についての速度向上比を表しどの部分の影響が一番大きいのか検討を行なった。

また、各 PE において領域分割方法を変えると、速度向上比にばらつきが見られることが分かる。これは、領域分割の方法を変えると、PE が受け持つ節点数の増減が見られることから生じるものと考えられる。PE が受け持つ節点数にばらつきが見られるのは、領域分割がうまく出来ていないこと、または領域分割の結果、オーバーラップ部分の節点数が増加していることが挙げられる。

4.2.3 各並列計算部分における速度向上比

次に並列化を行なった各計算部分のそれぞれについての速度向上比を表し、PE 数が増大するにつれて、速度向上比にどのような変化が表れるのか、またどの部分の計算量の変化が速度向上比に大きく影響を及ぼしているのかどうかの検討を行なった。

中間流速の及び速度計算部分における速度向上比

まず、中間流速及び、速度計算部分、節点位置の更新を行なう部分についての速度向上比の結果を次の図に示した。この図より、PE 数に比例した速度向上比が得られていることがわかる。これは、中間流速及び、速度の計算については圧力解の計算の様に行列を分解する必要がない対角化行列を用いていることから、並列化することで減少した PE の受け持つ節点数の割合に比例して速度向上比が大きくなったものと考えられる。節点位置の更新を行なう部分についても同様のことが考えられる。また、領域分割方法の違いで速度向上比にばらつきがみられる。これもやはり、各 PE 間でオーバーラップして受け持っている節点数の違いから起きているものと考えられる。

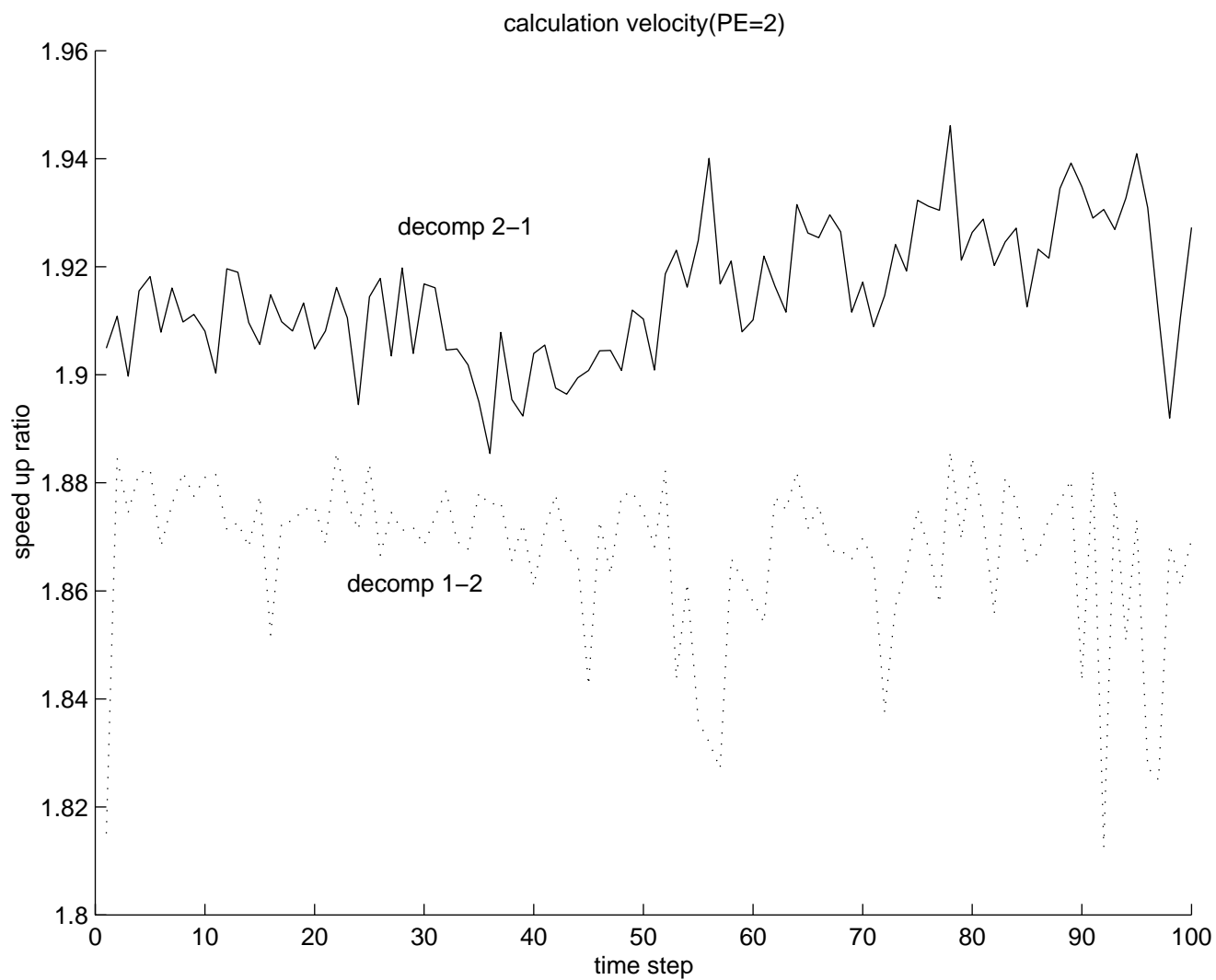


図 4.10: 中間流速及び速度計算部分における速度向上比 (PE=2)

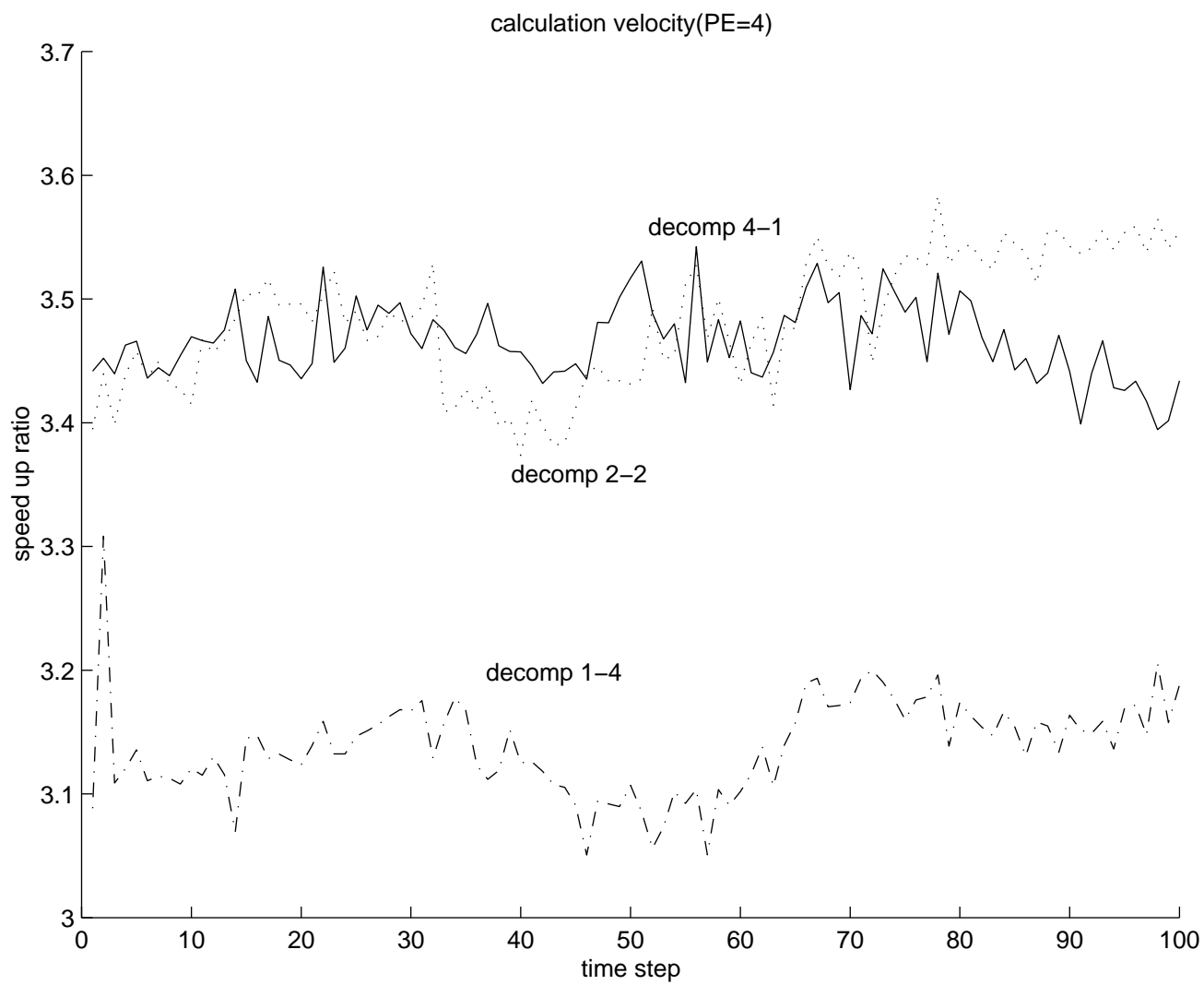


図 4.11: 中間流速及び速度計算部分における速度向上比 (PE=4)

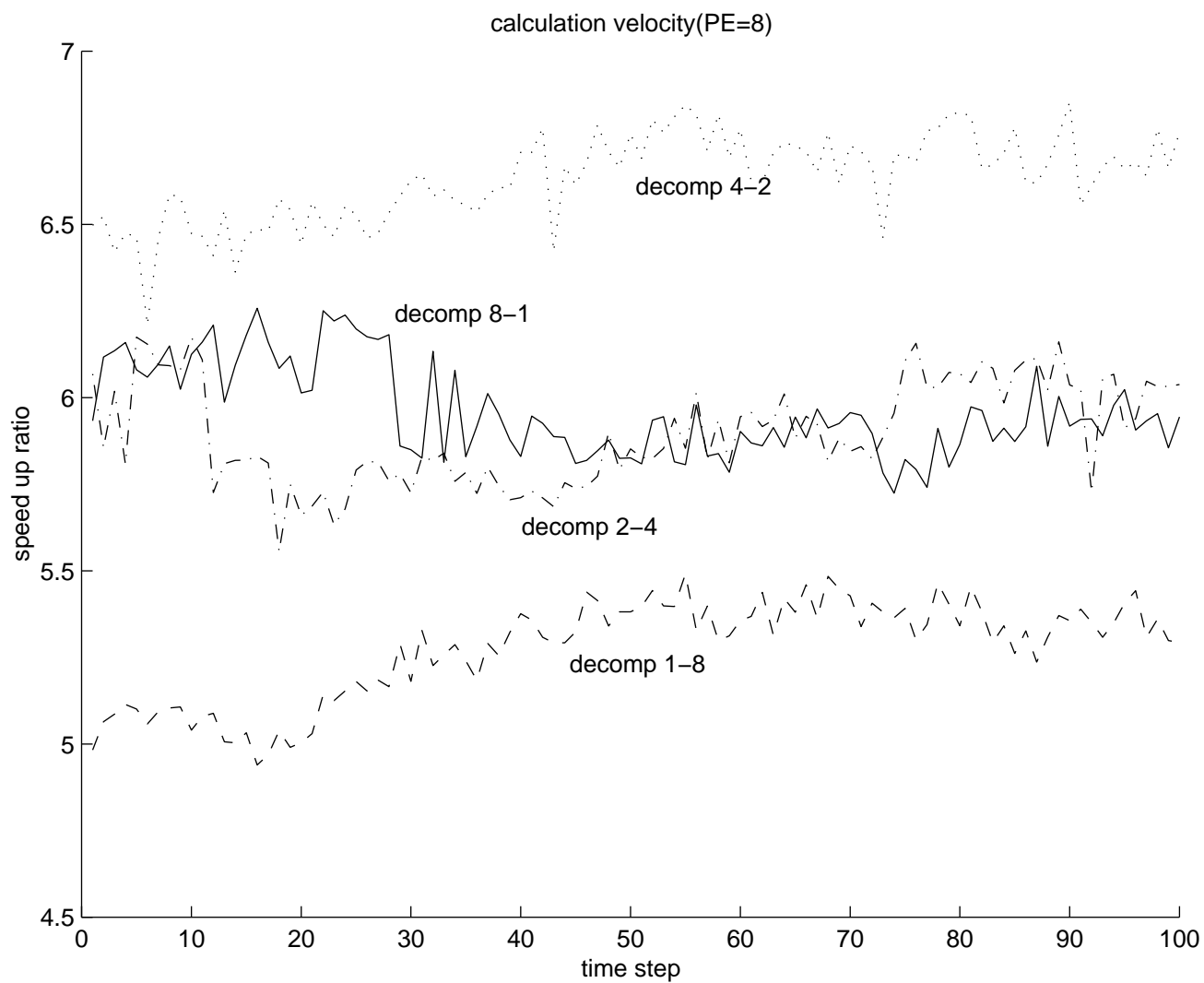


図 4.12: 中間流速及び速度計算部分における速度向上比 (PE=8)

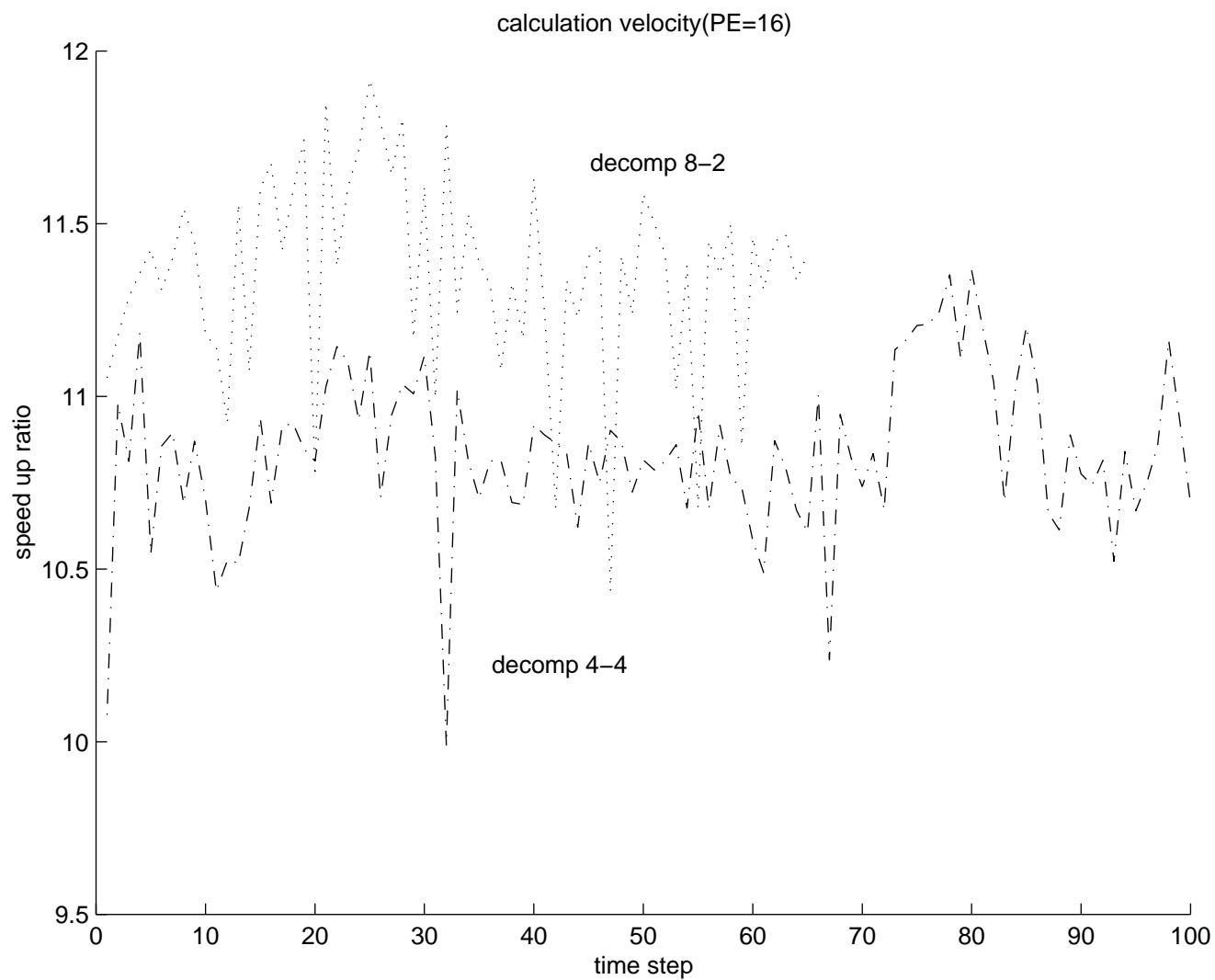


図 4.13: 中間流速及び速度計算部分における速度向上比 (PE=16)

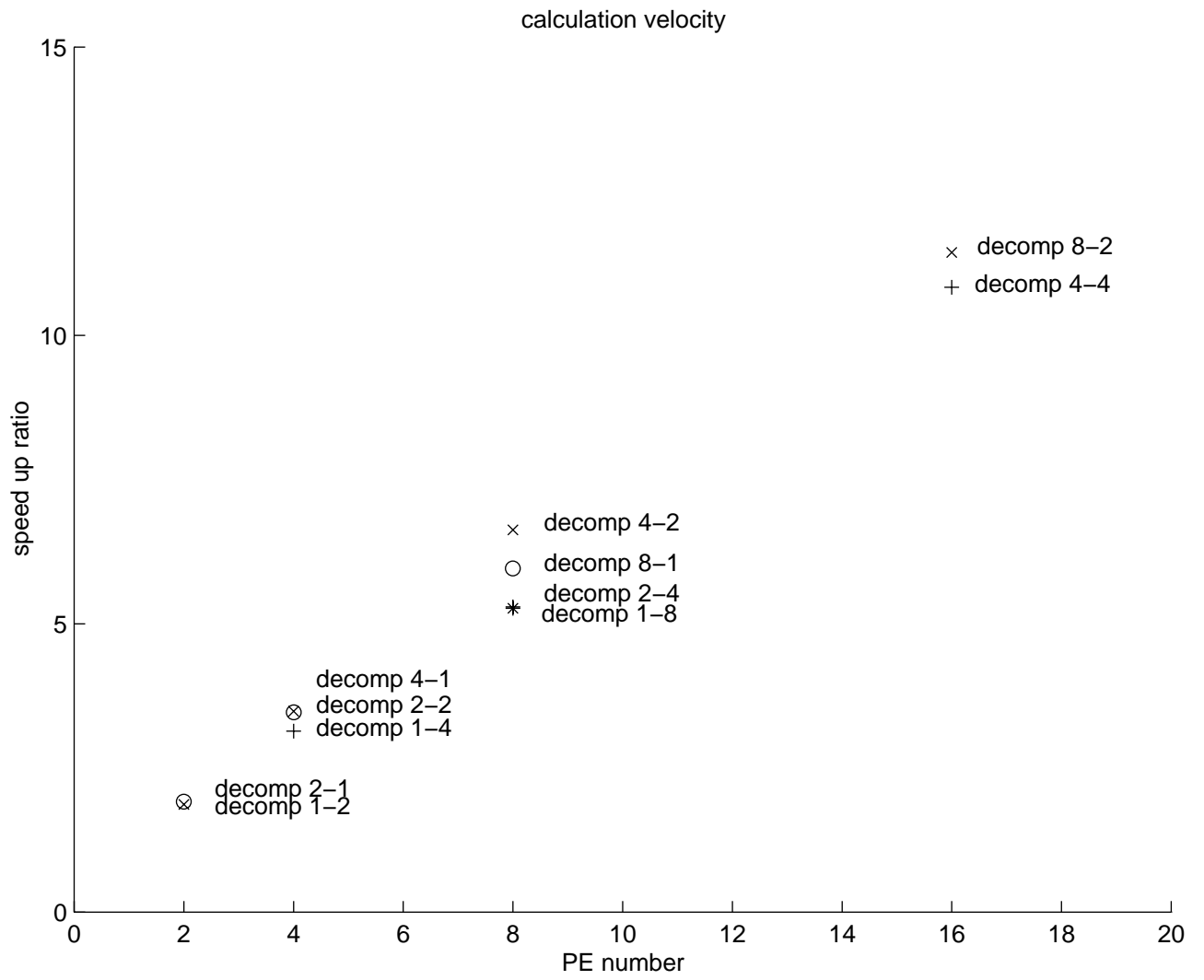


図 4.14: 中間流速及び速度計算部分における速度向上比 (100step 平均)

圧力計算部分における速度向上比

次に、並列計算部分である圧力解の計算部分についての速度向上比を図に示した。

この図より、PE 数の増加と共に速度向上比の変化が他の並列計算部分の速度向上比の変化より非常に大きくなっていて、並列計算部分全体の速度向上比の変化に 1 番大きく影響を与えていることが分かった。

これは圧力解を求める計算方法が、受け持つ節点のオーダリング、2 次元の圧力行列の作成、圧力ベクトルの作成、圧力解の導出には LU 分解を用いるというように他の並列計算部分以上に非常に節点数に対する依存が大きくなっていることが挙げられる。

それは、オーダリング、圧力ベクトルの作成については並列化することで減少した PE の節点数の割合に比例すること、圧力行列の作成及び圧力解の導出 (LU 分解) には並列化をすることで減少した節点数の 2 乗に比例して速度向上比が増大するからである。

また、中間流速、速度、節点位置の更新部分の時と同様に領域分割方法の違いにより、速度向上比にばらつきが見られ、そして 2 次元方向に領域分割を行なった方が 1 次元方向に分割を行なった時よりも速度向上比が大きく増大していることが分かった。

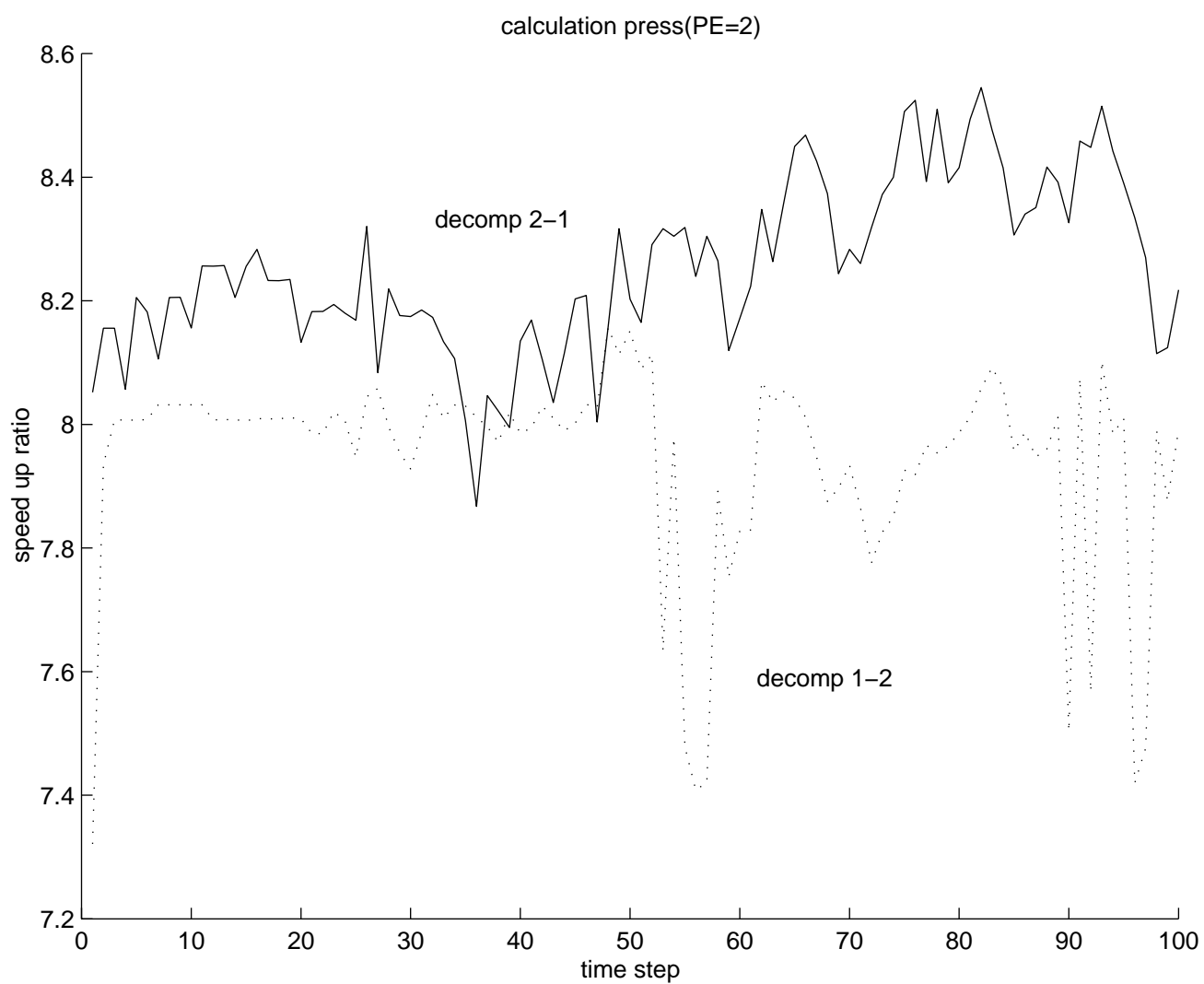


図 4.15: 圧力計算の速度向上比 (PE=2)

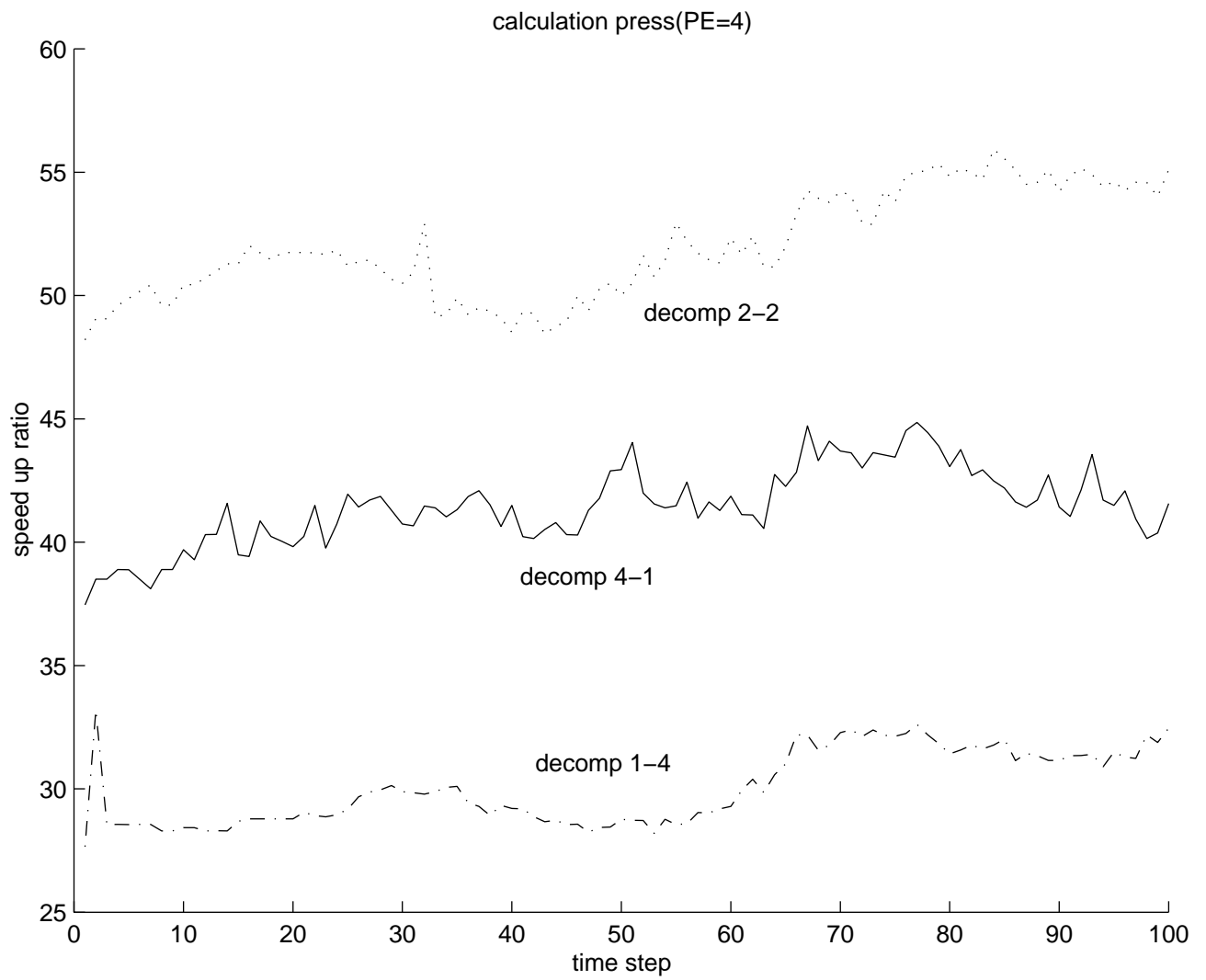


図 4.16: 圧力計算の速度向上比 (PE=4)

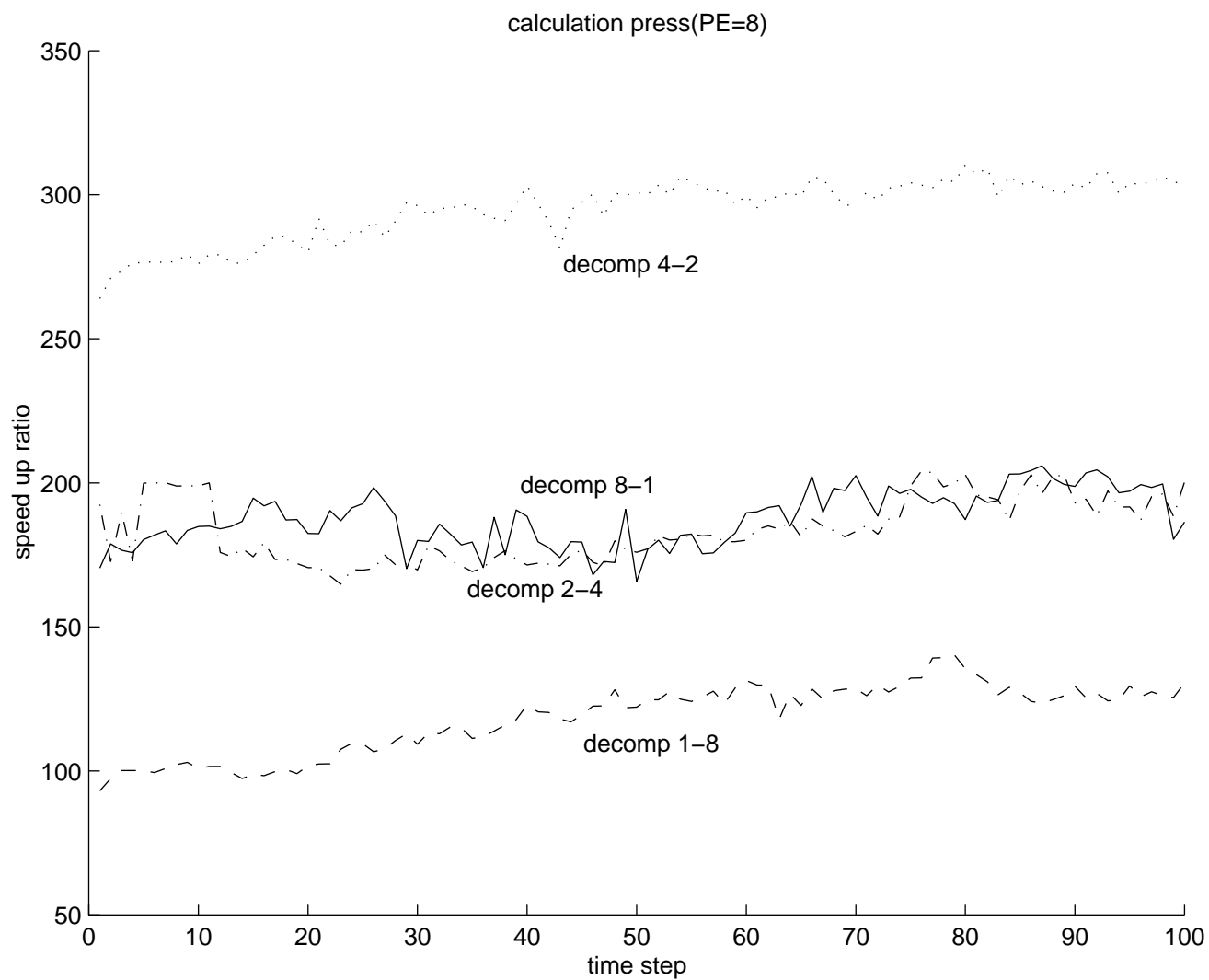


図 4.17: 圧力計算の速度向上比 (PE=8)

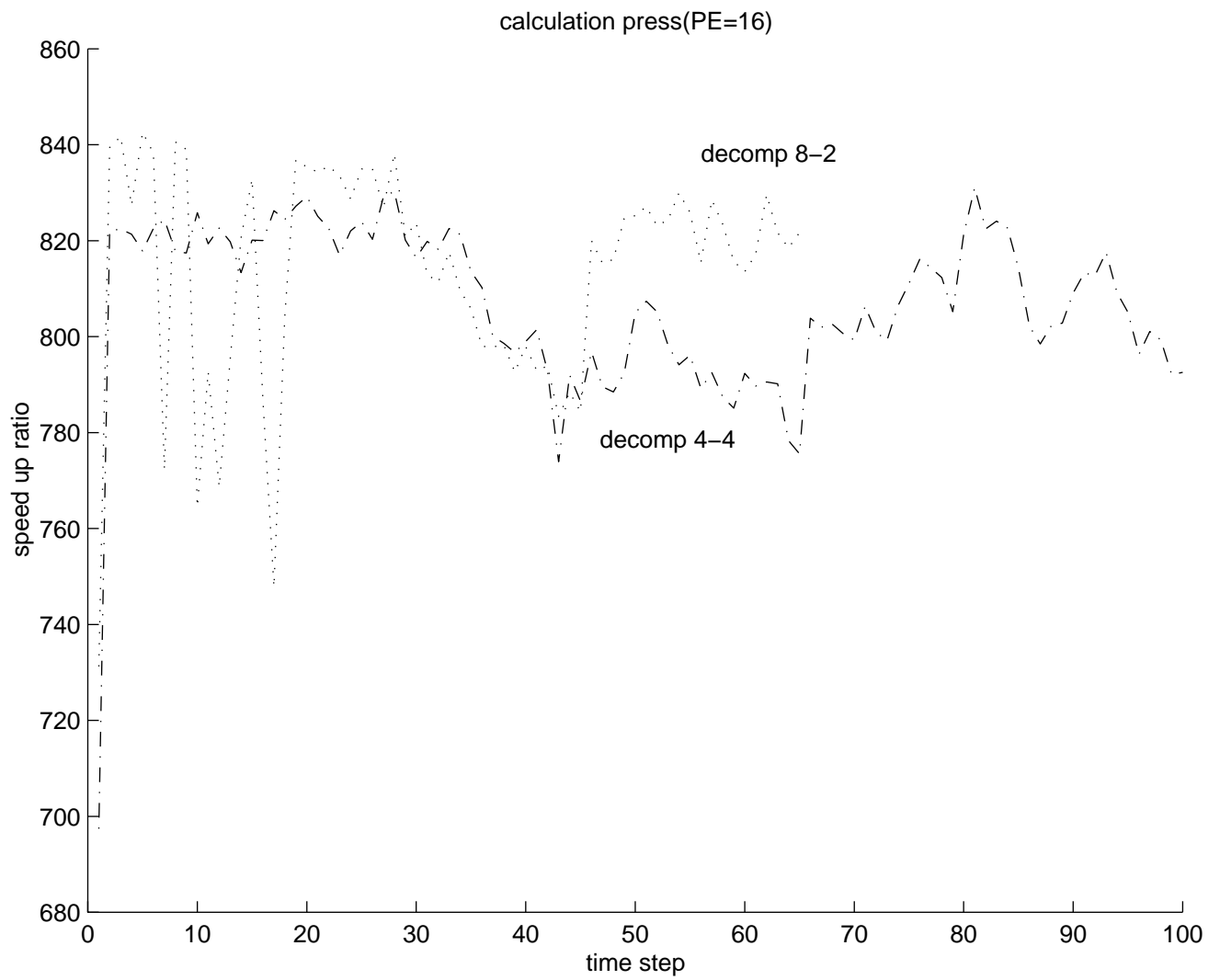


図 4.18: 圧力計算の速度向上比 (PE=16)

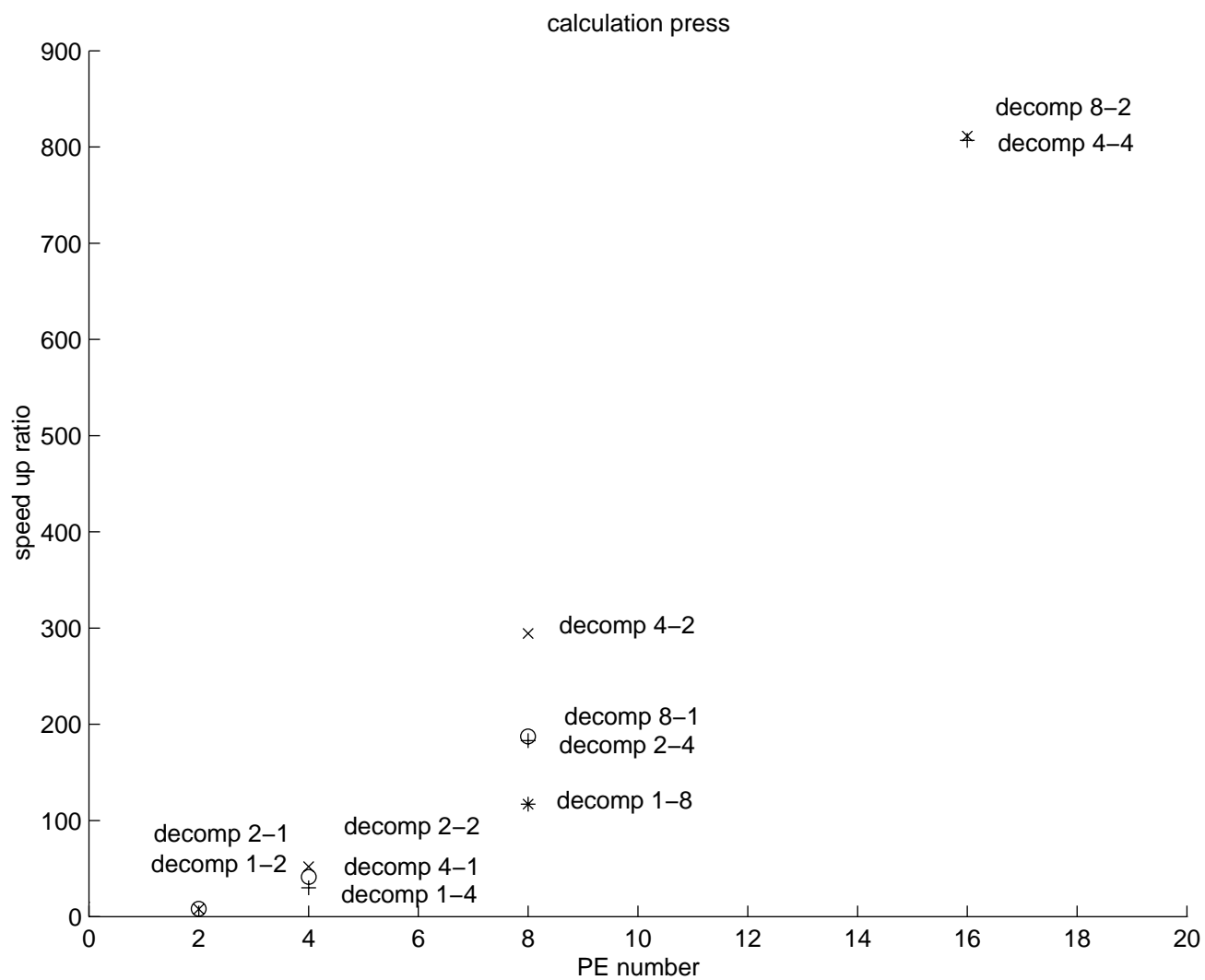


図 4.19: 圧力計算の速度向上比 (100step 平均)

4.2.4 全実行時間の速度向上比

次に、この NEM の並列アルゴリズムの並列計算ではなく 1 PE で計算が行なわれる部分として、三角形要素分割の更新及び、節点の追加・削除を行なう部分が挙げられる。この三角形要素の更新、節点の追加・削除といった並列計算ではない部分と、PE 数の増加に伴ったメッセージパッシング量の増加が、この NEM の並列アルゴリズムの全実行計算時間に、どのような影響を与えるのか、そして PE 数の増加に伴う速度向上比の変化について検討を行なう必要がある。

そこで、この NEM の並列アルゴリズムについての全計算実行時間に対する速度向上比を次の図に表した。

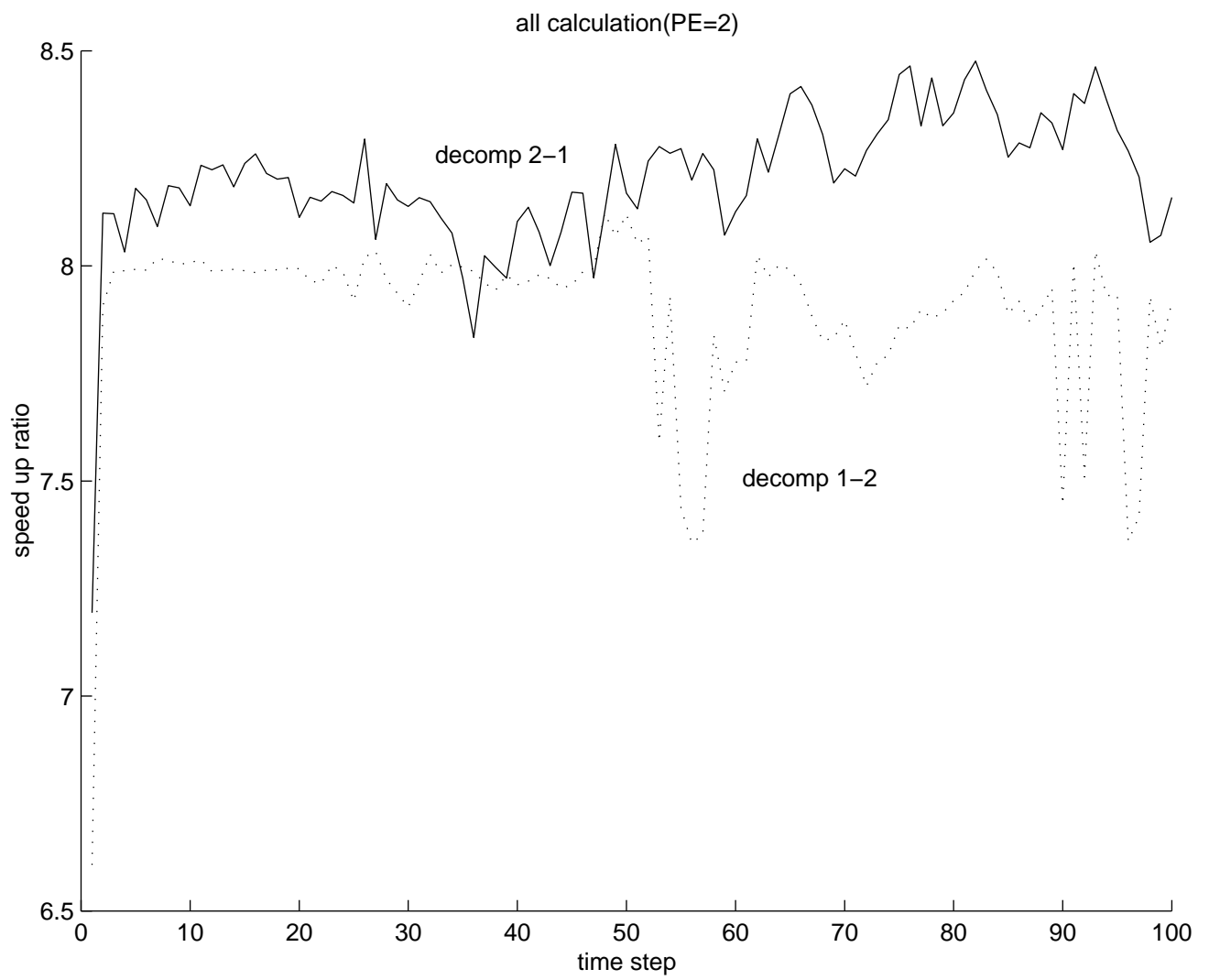


図 4.20: 全実行時間における速度向上比 (PE=2)

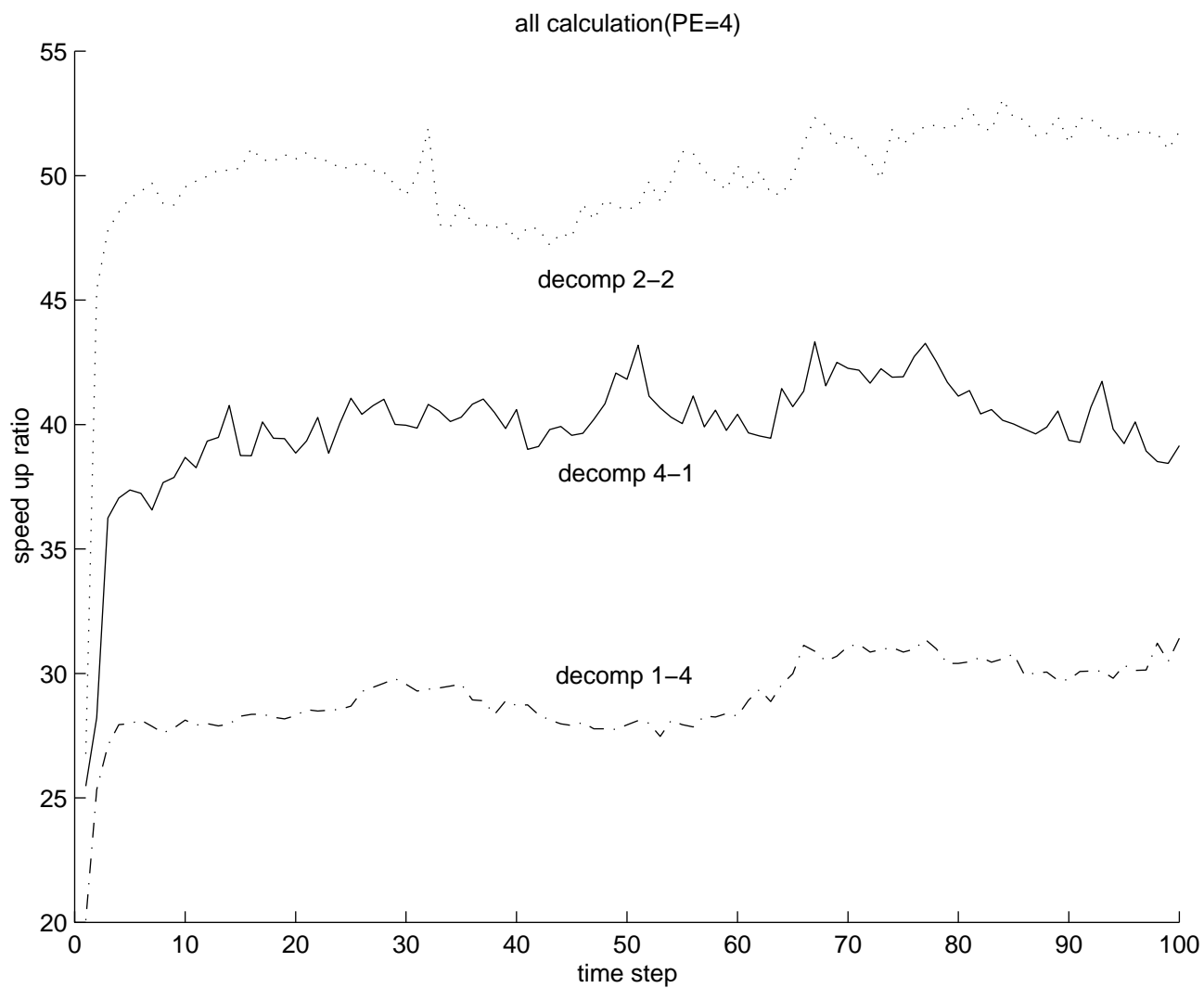


図 4.21: 全実行時間における速度向上比 (PE=4)

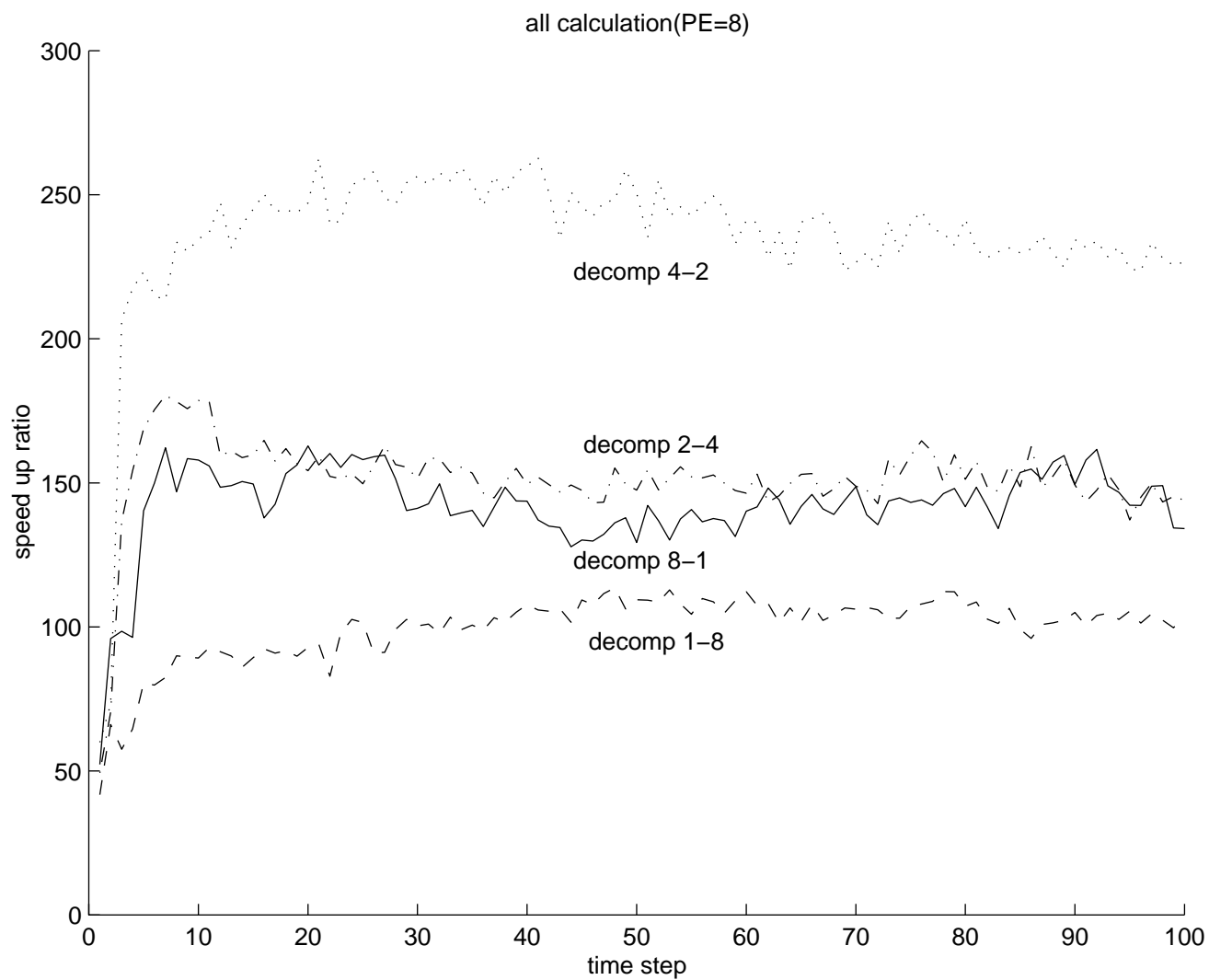


図 4.22: 全実行時間における速度向上比 (PE=8)

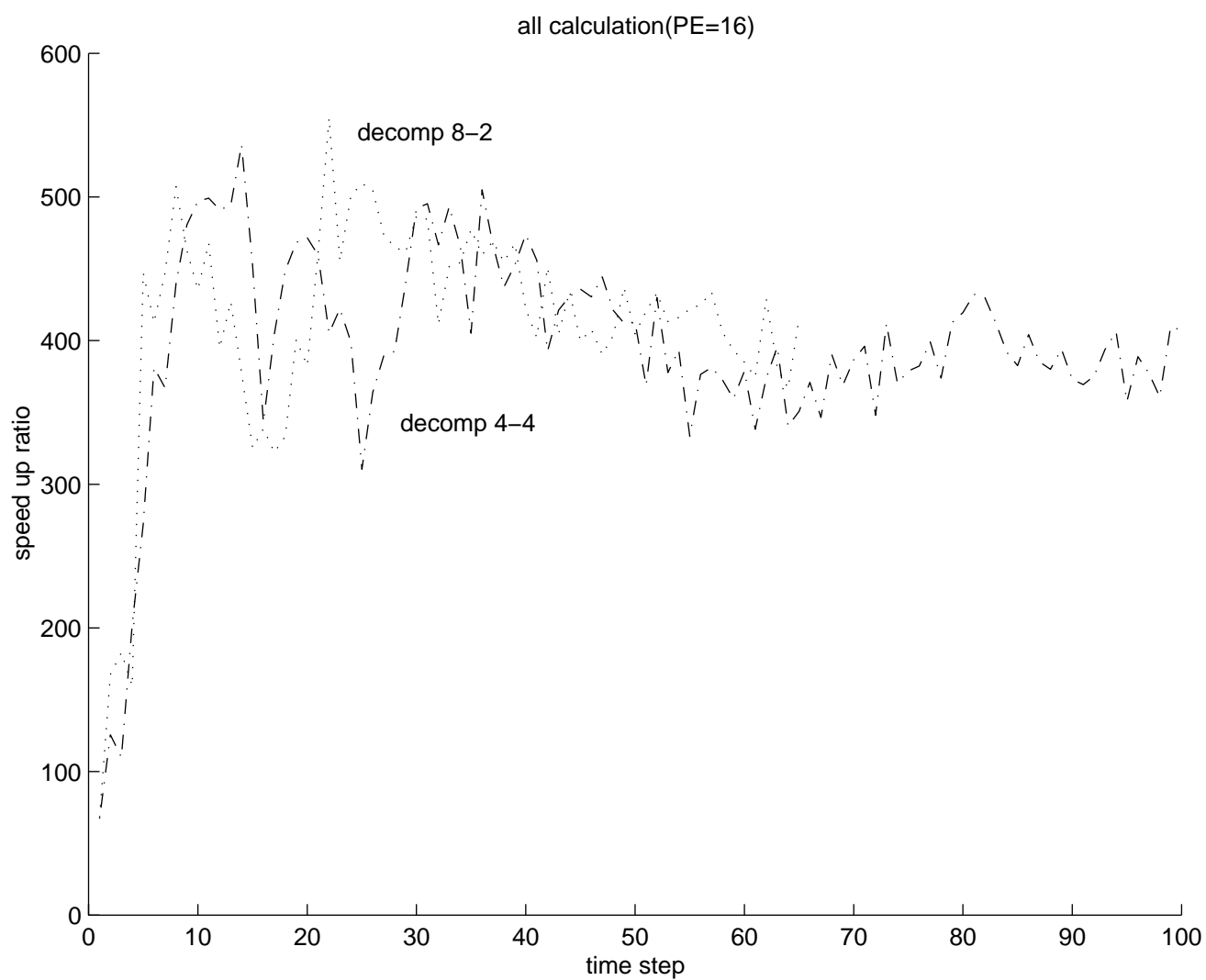


図 4.23: 全実行時間における速度向上比 (PE=16)

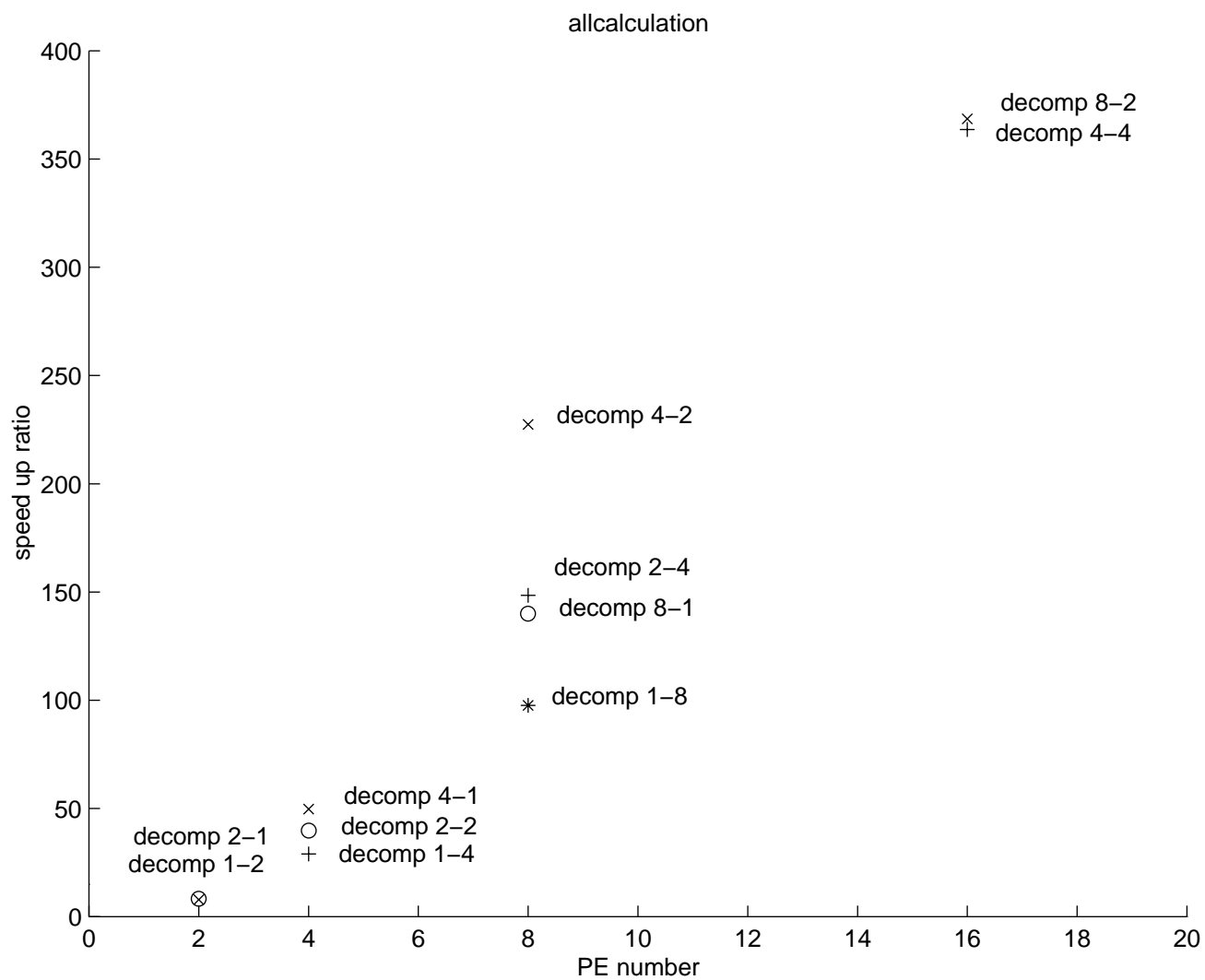


図 4.24: 全実行時間における速度向上比 (100step 平均)

図より、計算の立ち上がり時は、初期節点配置の設定及び、三角形要素の作成にかなりの時間を必要とすること、タイムステップの進行に対して流れの様子が大きく変わる為に節点の移動が激しくなり多くの三角形要素の形が大きく変化し、その三角形要素の更新にかなりの時間が掛かる。そしてそれに伴う節点の追加・削除についても同様にかかなりの時間を必要とすることから、速度向上比が安定しない。

一方、タイムステップが進むと流れは徐々に安定してくることから、要素分割や節点配置の変更は少なくなり、全計算時間に対する割合が減っていき、平衡状態となってくる。

逐次計算においては、圧力解を求める計算時間が全計算実行時間のほとんどを占めている。並列化を行なったことにより、圧力解の計算量が減少された為にこれほど大きな速度向上比の変化が見られるものと考えられる。

また、100step 平均で表した速度向上比の図より、領域分割を2次元方向で行なった方が1次元方向で領域分割を行なった時に比べ、より高い速度向上比が得られていることがわかった。

2,4,8PEを用いて並列計算を行なった際に、一番解析を進める事が出来たのは、一番速度向上比の大きい領域分割の時であった。しかしながら16PEの時、領域分割 decomp8-2の時の方が decomp4-4の時よりも速度向上比が高いが実際の計算においては decomp4-4の時の方が解析が進められるといった事が起こった。これは、今回の計算時間の測定方法が全各PEの計算が終った時間を計算時間としている為、受け持つ節点が多いとそれだけ計算時間がより多くかかってしまうことになる事に原因がある。decomp8-2の場合、各PEの受け持つ節点は110-188の間であり、decomp4-4の場合、各PEの受け持つ節点は165-198の間であった。decomp8-2の場合には負荷分散が均等に行なわれておらず、その為、あるPEではオーバーラップ部分の節点の影響が大きくなり、解析がすすめられなくなるといった事態が起こった。一方、decomp4-4の場合には、負荷分散が均等に行なわれている為に解析が進められることが出来た。しかしながら、decomp8-2の場合、各PE内、一番多く受け持っている節点数が、decomp4-4の場合の一番多く受け持つ節点数よりも少ない為、見かけ上 decomp8-2の場合の方が、decomp4-4の場合より良い速度向上比を示すことになった。

この図と並列化を行なった部分における速度向上比とを比較すると、PEを多く用い計算を行なうと、並列化が行なわれていない部分の影響及び、メッセージパッシングの影響が大きくなり、PE数の増加に対する速度向上比の増加の割合が少なくなっている。

従って、PE の増加に伴うメッセージパッシング量を抑える事には限界があるので、この NEM の並列アルゴリズムの内、更に並列化を行なうことが可能である部分について並列化を行なえば、速度向上比の更なる向上が期待出来るものと考えられる。

並列化を期待できる部分として再要素分割の部分が考えられるが、この時も他の並列計算と同様に各 PE の領域境界部分の扱いに問題が生じる。再要素分割を並列化しても、逆に解析が進められなくなる場合が生じるのでこの PE の境界部分については、適切な境界条件が求められる。

今回解析を行なった際に用いた節点数は 2000 個程度であった。その為、32PE 以上を用いて解析を行なった場合には、各 PE が受け持つ節点数が少なくなり過ぎてしまい、その為オーバーラップ部分の節点の影響が大きくなり解析が進められなくなった。また、16PE を用いた解析でも計算時間は非常に短くなった。今回用いたモデルでは 2000 個程度の節点数で充分であったが、より複雑形状をした大規模な流れをモデルを用いた場合には、より多くの節点数を必要となり計算時間が増大することから、32PE 以上を用いた解析を行い、計算時間を短縮する必要があるものと考えられる。

第 5 章

まとめ

本研究では、移動境界問題や自由表面問題に有効に対処出来ると期待されているラグランジュ的解析方法である NEM について並列計算機 Cray-t3e を用いて並列化を行なった。並列化を行なう為の手法として領域分割法を用い、各 PE が受け持つ節点数が均等になる様に負荷分散を行なった。この際、各 PE 間の領域境界部分でオーバーラップして受け持っている節点については境界条件として前のタイムステップで計算された値を与えた。従ってオーバーラップして受け持っている節点については、既知数の扱いとした。こうすることで、並列化を行う上での前提条件なる逐次計算を行なった場合と同じ流れの様子が再現出来る様に努めた。

まず並列化を行なった部分に注目し、PE 数の増加の割合と速度向上比の増加の関係について検討を行なった。次に並列化を行なった各部分について注目し、どの部分が速度向上比に一番影響を与えているのか検討を行なった。最後に計算の全実行時間にたいする速度向上比を表し、PE の増加と速度向上比の増加の関係、そして逐次計算部分が速度向上比に与える影響について検討を行なった。

この時、領域分割方法を変え、同じ PE 数を用いた時でも領域分割の仕方の違いで速度向上比にどのような変化が生じるのか検討を行なった。

謝辞

本研究を行なうにあたり、御指導を頂いた松澤教授に対し心から感謝します。

また、研究を行なうに当たり助言や指摘など各方面においてお世話になった沼形健児氏（三井造船）並びに研究室の各位に対し、深く感謝致しますと共に更なる御発展、御活躍を心から期待しております。

参考文献

- [1] Jean Braun and Malcolm Sambridge, A numerical method for solving partially differential equations on highly irregular grids, *Nature*, **v376**, pp655- 660, 1995.
- [2] Jean Braun and Malcolm Sambridge, Dynamical Lagrangian Remeshing (DLR): A new algorithm for solving large strain deformation problems and its application to fault-propagation, *Earth and Planetary Science Letters*, **124**, 211- 220, 1994.
- [3] Malcolm Sambridge, Jean Braun and Herbert M. Queen, Geophysical parameterization and interpolation of irregular data using natural neighbours, *Geophys. J. Int* **122**, 837- 857, 1995.
- [4] 谷口健男, FEM のための要素自動分割 (デローニー三角分割法の利用), 森北出版, 1992
- [5] J.J.Corr/CARBBIA 共著, 奥村敏恵 訳, 流体解析への有限要素法の応用, サイエンス社, 1978
- [6] 数値流体力学会 編, 非圧縮性流体解析, 東大出版会, 1995
- [7] 数値流体力学会 編, 移動境界流れ解析, 東大出版会, 1995